

PRINCIPIOS E APLICAÇÕES DA DETECÇÃO REMOTA

**DETECÇÃO
REMOTA**





<https://www.nasa.gov/press-release/nasa-small-satellites-set-to-take-a-fresh-look-at-earth>

Earth

Nov. 7, 2016
RELEASE 16-104

NASA Small Satellites Set to Take a Fresh Look at Earth

f t G+ P +

Small Sats are the Next Big Thing

1:35 / 1:35

YouTube

These small satellites range in size from a loaf of bread to a small washing machine and weigh from a few to 400 pounds. Their small size keeps development and launch costs down as they often hitch a ride to space as a "secondary payload" on another mission's rocket – providing an economical avenue for testing new technologies and conducting science.

"NASA is expanding its small satellite portfolio," said Steve Jurczyk, NASA's associate administrator for the Space Technology Mission Directorate in Washington. "This will broaden our ability to demonstrate new technologies and systems."

Small-satellites are also finding their way into space. The first three RAVAN CubeSats will debut this month.

"NASA is expanding its small satellite portfolio to demonstrate new instruments and applications in Earth science," said Michael G. Zulu, director of the Small Satellite Division at NASA's Goddard Space Flight Center in Greenbelt, Maryland.

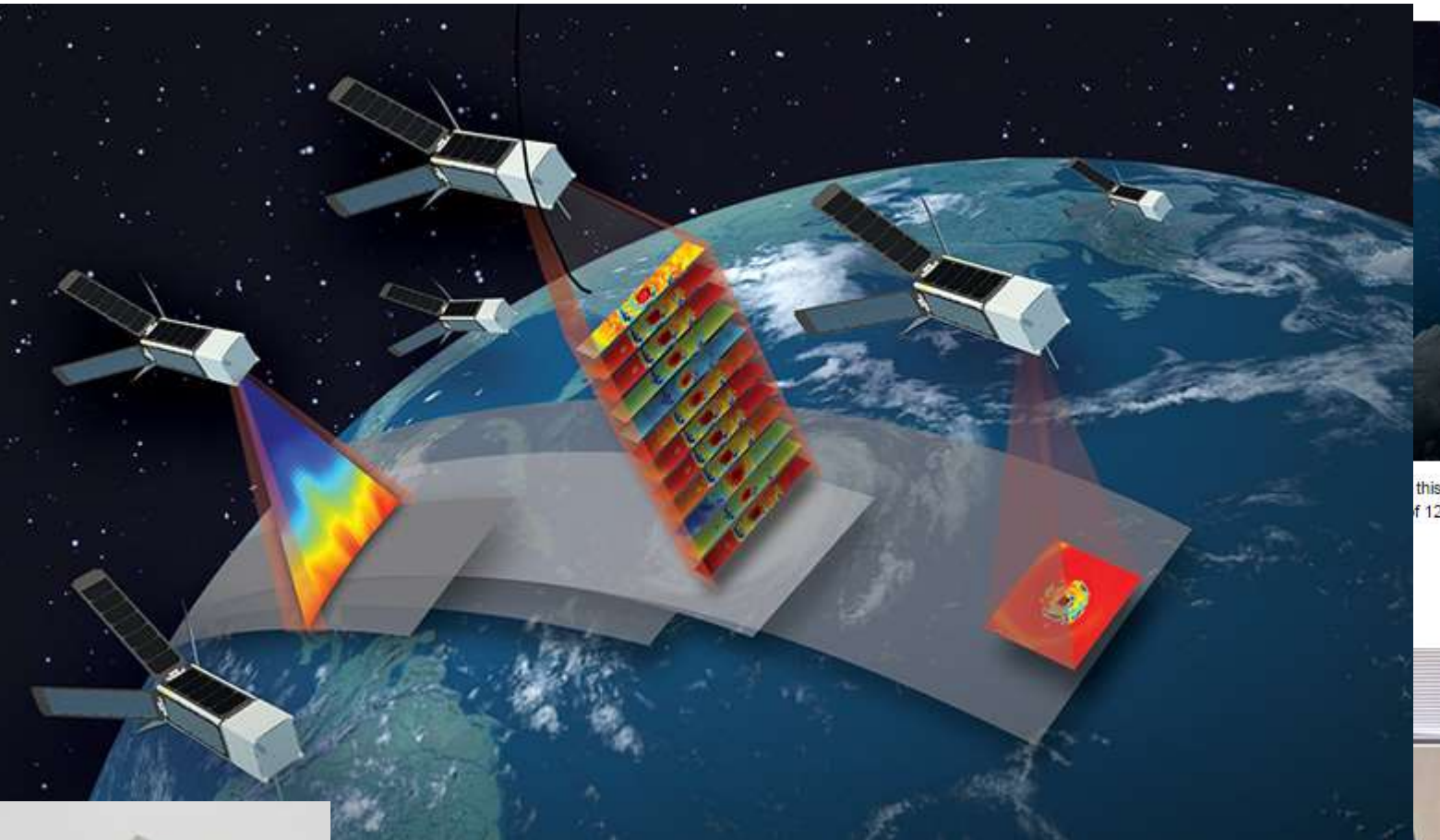
Scheduled for launch in early 2014, the Nanotube-based RAVAN CubeSats will demonstrate energy balance measurement technologies for greenhouse gas monitoring. The RAVAN team is based at the University of Maryland Baltimore County (UMBC) in Baltimore, Maryland.

In spring 2014, the RAVAN team will begin detailed instrument calibration and validation to understand how well the instruments work.

IceCube, a RAVAN CubeSat, will use a Hyper-Accelerated Imaging System developed by UMBC and Baltimore-based Orbital Sciences Corporation to measure energy balance sizes with unprecedented resolution.

In early 2014, the RAVAN team will begin detailed instrument calibration and validation to understand how well the instruments work.

The RAVAN CubeSat is part of NASA's Earth Science Technology Office's Small Satellite Program at NASA's Langley Research Center in Hampton, Virginia.



diameter Technology Acceleration mission – is scheduled to launch in early 2014. The mission is a spin-off of the National Oceanic and Atmospheric Administration's Joint Polar Satellite System mission. It will demonstrate the capabilities of a small satellite to perform the functions of a large weather satellite. The RAVAN team, led by investigator Kerri Cahoy from the Massachusetts Institute of Technology, will collect data on temperature, water vapor, clouds, and precipitation for improved forecasting and storm tracking.

CubeSat missions are funded and managed by NASA's Earth Science Technology Office. ESTO supports technologists to develop and refine new methods for observing Earth using new components and instruments.



The RAVAN CubeSat set to launch this month to demonstrate new technologies for measuring Earth's energy balance, a key factor in climate studies.

Credits: The Johns Hopkins University Applied Physics Laboratory

The same GPS technology that helps people get where they're going in a car will soon be used in space to impact hurricane forecasting. The technology is a key capability in a NASA mission called the Cyclone Global Navigation Satellite System (CYGNSS).

The CYGNSS mission will use eight micro-satellites to measure wind speeds over Earth's oceans increasing the ability to provide information based on

CYGNSS is taking a n and gathers more data

Typically, measuring w A radar instrument ab reflected back to it. Bu however, is more exp

The CYGNSS satellite orbiting the Earth and CYGNSS satellites the Michigan and the mis

Better Coverage

The use of eight sat instruments will be de the same region even the interaction of the t every few hours, com

"This sampling strate said Ruf.

Another advantage – are most often found. they are trying to cap instruments will be ab in the tropics.

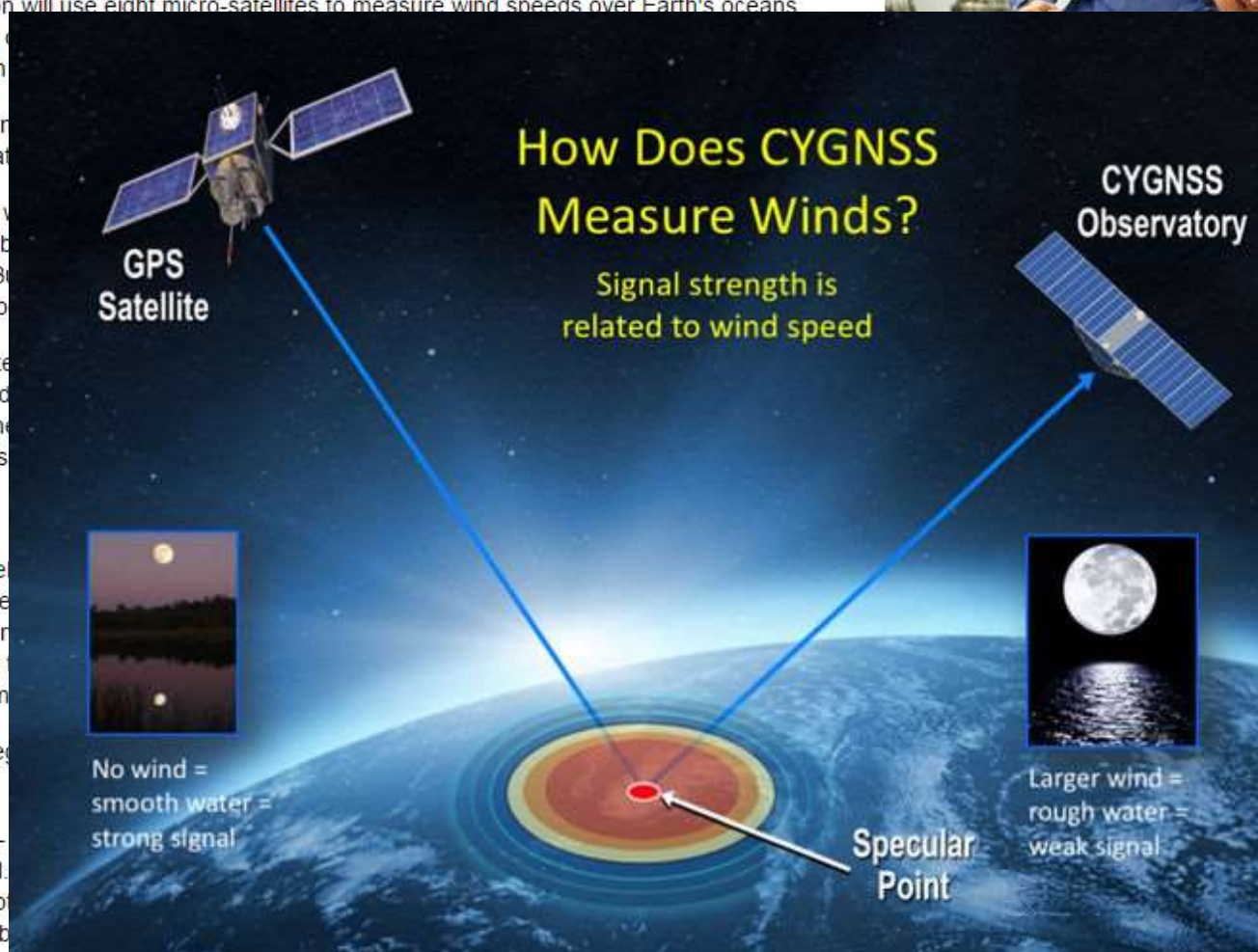
This data will be shared with NOAA and used to help emergency managers make decisions regarding extreme weather planning.



Research
e Sciences
CYGNSS,
ls bounced off of
and wind speeds.



ospheric,
ates CYGNSS in
PS signals



bounced off of ocean surfaces to measure the height of waves and wind speeds. This data will improve hurricane forecasts.

Credits: University of Michigan/Joseph Xu



21 Fevereiro 2018

Dec. 6, 2016
RELEASE 16-115

NASA Announces First Geostationary Vegetation, Atmospheric Carbon Mission



NASA has selected a first-of-its-kind Earth science mission that will extend our nation's lead in measuring key greenhouse gases and vegetation health from space to advance our understanding of Earth's natural exchanges of carbon between the land, atmosphere and ocean.

The primary goals of the Geostationary Carbon Cycle Observatory (GeoCARB), led by Berrien Moore of the University of Oklahoma in Norman, are to monitor plant health and vegetation stress throughout the Americas, and to probe, in unprecedented detail, the natural sources, sinks and exchange processes that control carbon dioxide, carbon monoxide and methane in the atmosphere.

The investigator-led mission will launch on a commercial communications satellite to make observations over the Americas from an orbit of approximately 22,000 miles (35,400 kilometers) above the equator. The mission was competitively selected from 15 proposals submitted to the agency's second Earth Venture - Mission announcement of opportunity for small orbital investigations of the Earth system.

"The GeoCARB mission breaks new ground for NASA's Earth science and applications programs," said Michael Freilich, director of the Earth Science Division of NASA's Science Mission Directorate in Washington. "GeoCARB will provide important new measurements related to Earth's global natural carbon cycle, and will allow monitoring of vegetation health throughout North, Central and South America."

GeoCARB will measure daily the total concentration of carbon dioxide, methane and carbon monoxide in the atmosphere with a horizontal ground resolution of 3 to 6 miles (5 to 10 kilometers). GeoCARB also will measure solar-induced fluorescence, a signal related directly to changes in vegetation photosynthesis and plant stress.

Total NASA funding for the mission over the next five years will be \$166 million, which includes initial development, launch of the mission as a hosted payload on a commercial communications satellite, and data analysis.

The University of Oklahoma-led GeoCARB team will build an advanced payload that will be launched on a commercial communications satellite, employing otherwise unused launch and spacecraft capacity to advance science and provide societal benefit. By demonstrating GeoCARB can be flown as a hosted payload on a commercial satellite, the mission will strengthen NASA's partnerships with the commercial satellite industry and provide a model that can be adopted by NASA's international partners to expand these observations to other parts of the world.



From an orbit 22,000 miles above the Americas, the Geostationary Carbon Cycle Observatory will monitor plant health and vegetation stress and probe the natural sources, sinks and exchange processes of key greenhouse gases.

Credits: NASA

Apple is putting [a lot of effort](#) to improve its Apple Maps data and design. According to a new report from [Bloomberg](#), the company plans to use drones to track changes and improve mapping data over time. It would apparently be faster to use a fleet of drones rather than vans with sensors.

Apple already admitted that mapping data is [a harder problem](#) than the company first anticipated. You need to update maps all the time and fix mistakes as quickly as possible. Roads change and new buildings keep popping up. That's why the company now works with thousands of employees [in India](#) and elsewhere to work on mapping data.

But that's just one part of the equation. Having a big moderation staff is useless if you don't have fresh data coming from all over the world. Companies like Google and Apple rely on user reports and vehicles driving around multiple countries.

Bloomberg found a 2015 document from the Federal Aviation Administration. The administration granted Apple a license to "operate an unmanned aircraft system to conduct data collection, photography, and videography." It also says that the company plans to buy drones from [DJI](#) and [Aibotix](#) for this operation.

Now, it's unclear if Apple already started using these drones in the U.S. and in other countries. As it's not a user-facing feature, nothing stops Apple from using drones without telling its users.

In other news, Apple also acquired Indoor.io for indoor mapping. Bloomberg got an official confirmation from Apple. Apple has already made [another acquisition](#) of an indoor mapping company and is playing catch up on this front.

In Google Maps, you can already find maps of popular malls, museums and public buildings. Apple wants to provide indoor maps as well as an indoor positioning system that would take advantage of your iPhone's sensors to locate you [within](#) a building. It would go beyond a simple GPS dot.

Microsoft, HERE expands collaboration on next-generation location-based services

By News Desk - December 15, 2016 38 0

SHARE



Microsoft has selected HERE as its largest global provider of map data and services.

Netherlands: As part of its multi-year strategic commercial agreement between the two companies, Microsoft has chosen HERE as its largest global provider of map data and services.

The agreement extends the companies' long-standing collaboration, enabling Microsoft to integrate HERE's data and services into Microsoft's Bing Maps platform that powers Bing.com, Cortana, and many other Microsoft services, and into Microsoft's Bing Maps API offered to developers through the Azure Marketplace.

The agreement also permits Microsoft's expanded use of HERE data and services in connection with in-vehicle productivity scenarios. In addition, Microsoft users will benefit from HERE platform services such as real-time road traffic flow and live public transit data, as well as regular map updates made by HERE.

ISRO launches Remote-sensing satellite to aid farm sector

Vishwa Mohani TNN | Dec 8, 2016, 05.40 AM IST



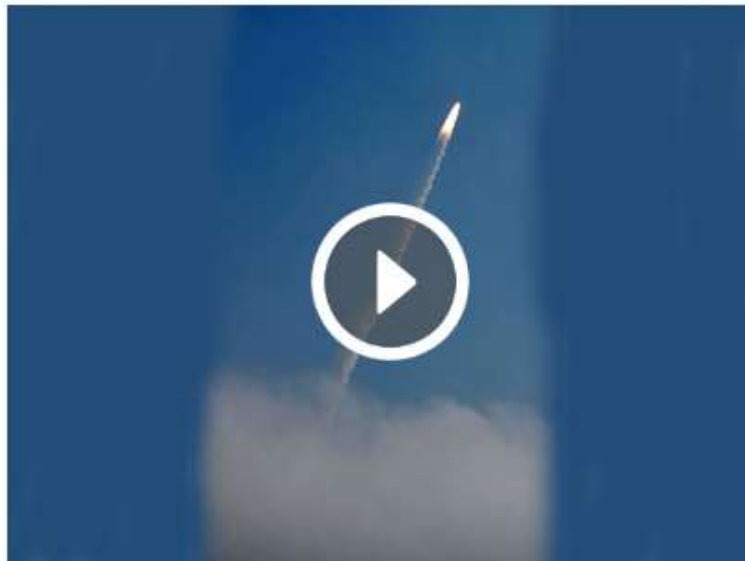
A-

A+

Start Download

Get Maps, Directions, Street Views & Traffic w/ Free OnlineMapFinder : www.onlinemapfinder.com

Ads by Google

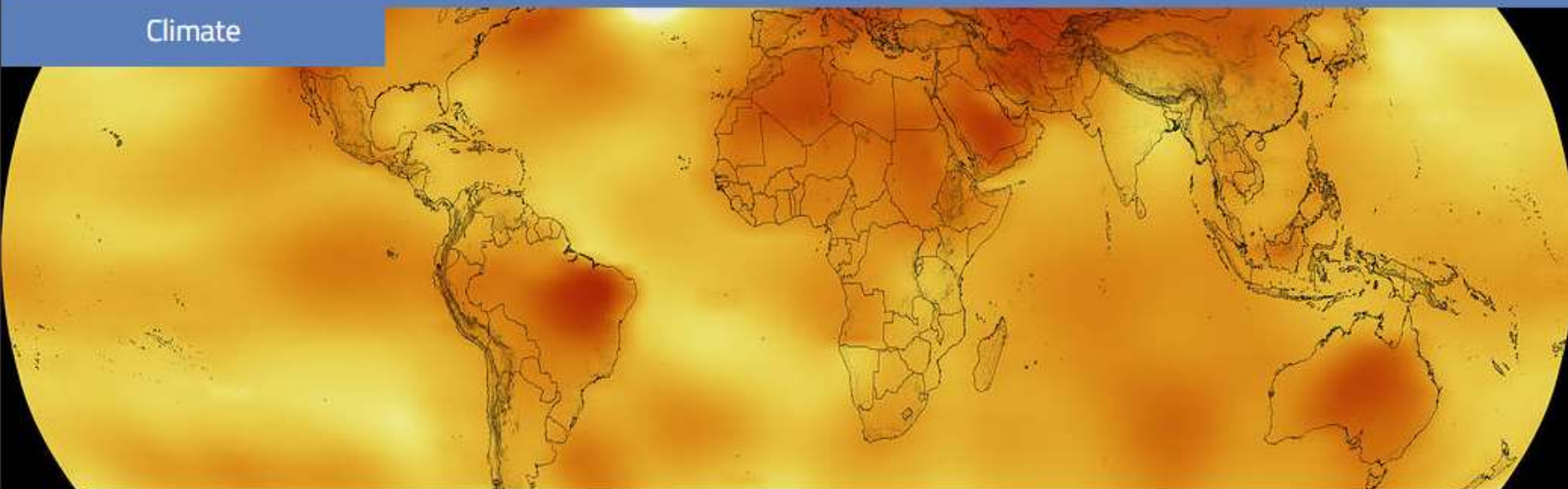


ISRO's RESOURCESAT-2A satellite was launched at Sriharikota on December 7, 2016.

analysis to generate farm advisories.

It will be brought to its final operational configuration in the coming days before it

NEW DELHI: India successfully launched on Wednesday its latest remote-sensing satellite, RESOURCESAT-2A, which would send data useful for various agricultural applications in the country. The satellite, launched by ISRO's Polar Satellite Launch Vehicle (PSLV) from Sriharikota, will relay specific data on crop area and crop production estimation, drought monitoring, soil mapping and cropping system



Jan. 18, 2017

RELEASE 17-006

NASA, NOAA Data Show 2016 Warmest Year on Record Globally

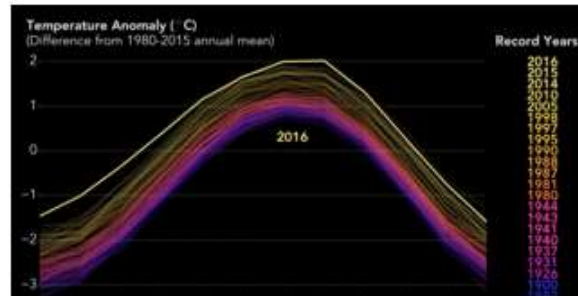


Earth's 2016 surface temperatures were the warmest since modern recordkeeping began in 1880, according to independent analyses by NASA and the National Oceanic and Atmospheric Administration (NOAA).

Globally-averaged temperatures in 2016 were 1.78 degrees Fahrenheit (0.99 degrees Celsius) warmer than the mid-20th century mean. This makes 2016 the third year in a row to set a new record for global average surface temperatures.

The 2016 temperatures continue a long-term warming trend, according to analyses by scientists at NASA's Goddard Institute for Space Studies (GISS) in New York. NOAA scientists concur with the finding that 2016 was the warmest year on record based on separate, independent analyses of the data.

Because weather station locations and measurement practices change over time, there are uncertainties in the interpretation of specific year-to-year global mean temperature differences. However, even taking this into account, NASA estimates 2016 was the warmest year with greater than 95 percent certainty.



SENTINEL-2B LAUNCH PREPARATIONS OFF TO A FLYING START



Revealing Sentinel-2B

12 January 2017 Some of us may be easing ourselves gently into the New Year, but for the team readying Sentinel-2B for liftoff on 7 March it's full steam ahead.

On 5 January, the satellite was shipped from ESA's site in the Netherlands – where it had been undergoing testing since June – and arrived safe and sound in French Guiana the following day.

The Sentinel-2 mission is designed as two satellites working in tandem – Sentinel-2A has been in orbit since June 2015.

Offering 'colour vision' for Europe's Copernicus programme, the mission combines high-resolution and novel multispectral capabilities.

Josef Aschbacher, ESA's Director for Earth Observation Programmes, said, "Since both satellites have a 290 km-wide coverage path and they orbit 180° apart, the time it takes to image the globe will be cut in half to five days once Sentinel-2B is operational."

The mission mainly provides information for agriculture and forestry and for helping to manage food security. Satellite images are used to determine key information about plants, such as chlorophyll and water content.

This is particularly important for predicting yields effectively and applications related to Earth's vegetation.



Sentinel-2



Sentinel-2 launch campaign blog



The launch campaign in pictures



Sentinel-2 global coverage

[Access the video](#)



Sentinel data access & technical information



WATCH LIVE: SENTINEL-2B LAUNCH

The second in the two-satellite Sentinel-2 mission is set for launch from French Guiana on 7 March at 01:49 GMT (02:49 CET). Follow the launch via live webstream.

Starts Tomorrow at 01:30 AM

Sentinel-2B Launch from

[GET NOTIFIED](#)



live stream

Sentinel-2 is the second mission for Europe's Copernicus environment monitoring programme. It carries a wide-swath high-resolution multispectral imager working in 13 spectral bands for a new perspective of our land and vegetation. The first in the two-satellite mission, Sentinel-2A, was launched in June 2015 – and now its twin is set for liftoff on 7 March.

The Sentinel-2B satellite will be launched on a Vega rocket from Europe's Spaceport near Kourou in French Guiana, an overseas department of France.

The live webstream will begin at 01:30 GMT (02:30 CET) and end at 03:15 GMT (04:15 CET).

Sumário

Capítulo 1 – A Detecção Remota

- O que é da Detecção Remota
- Radiação Electromagnética
- Frequência radar
- Interacção com atmosfera
- Interacção Radiação-Alvo
- Assinatura Espectral
- Detecção Passiva vs Activa
- Sensores Ópticos
- Características das imagens
- Resolução Espacial, Espectral, Radiométrica e Temporal
- Formato dos dados
- Sistemas de imagens
- Distorção geométrica das imagens

O que é a Detecção Remota?

3+

A Detecção Remota é um conjunto de métodos para adquirir informação acerca da superfície da Terra, sem estar em contacto com esta.



É uma tentativa de medir algo à distância

A Detecção remota é definida como a medição das propriedades de um objecto na superfície da Terra usando dados adquiridos por avião ou satélite

A Detecção Remota

Isto é conseguido por detecção e registo da radiação electromagnética (REM) reflectida ou emitida pelos objectos na superfície da Terra e transportada até ao sensor (em geral a bordo dum satélite ou avião).

Os dados da Detecção Remota podem ser

- medições discretas pontuais ou
- um perfil ao longo de um percurso de satélite (scan)

MAS, nesta disciplina estamos principalmente interessados em medições no espaço bidimensional,
ou seja **IMAGEM**.

Detecção Remota : Motivação

Fornece informação única para resolver os desafios sociais de escala global



Climate Change



Environment



Resources



Sustainable Development



Megacities



Mobility



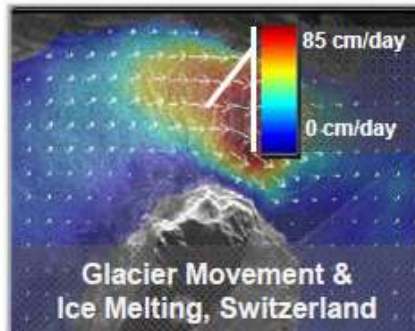
Hazards



Disaster

Detecção Remota : Motivação

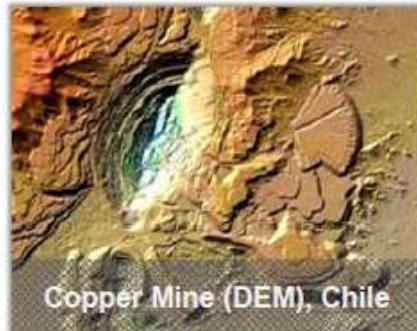
Fornece informação única para resolver os desafios sociais de escala global



Climate Change



Environment



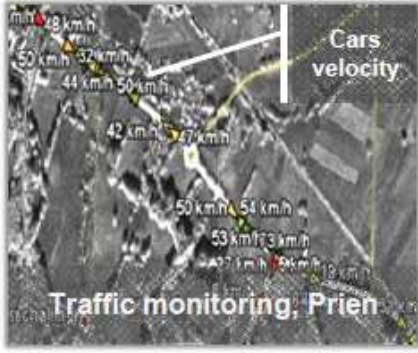
Resources



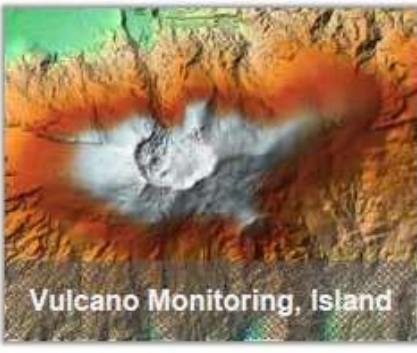
Sustainable Development



Megacities



Mobility



Hazards



Disaster

Detecção Remota - Multiespectral

Medição das propriedades dos objetos à distancia com instrumentos dedicados

- Acquired information
 - spatial (geometric resolution)
 - spectral (frequency resolution)
 - intensity (radiometric resolution)
 - temporal (revisit time)



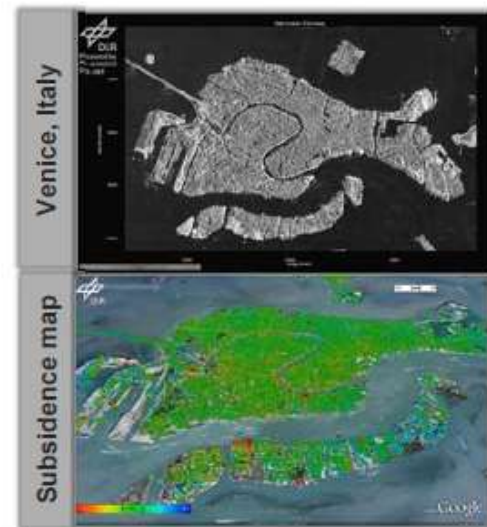
- Different types of remote sensing sensors:
 - Optical and infrared sensors
 - passive:
 - High-resolution
 - Multispectral, hyperspectral
 - active: Lidar



Detecção Remota - Microondas

Medição das propriedades dos objetos à distancia com instrumentos dedicados

- Acquired information
 - spatial (geometric resolution)
 - spectral (frequency resolution)
 - intensity (radiometric resolution)
 - temporal (revisit time)
- Different types of remote sensing sensors:
 - Microwave sensors
 - passive (radiometers)
 - active (radars)
 - Scatterometer, Altimeter
 - Synthetic Aperture Radar - SAR



Detecção Remota

A era moderna da Detecção Remota começou com o primeiro

LandSat Multispectral Scanner System (MSS) em 1972,

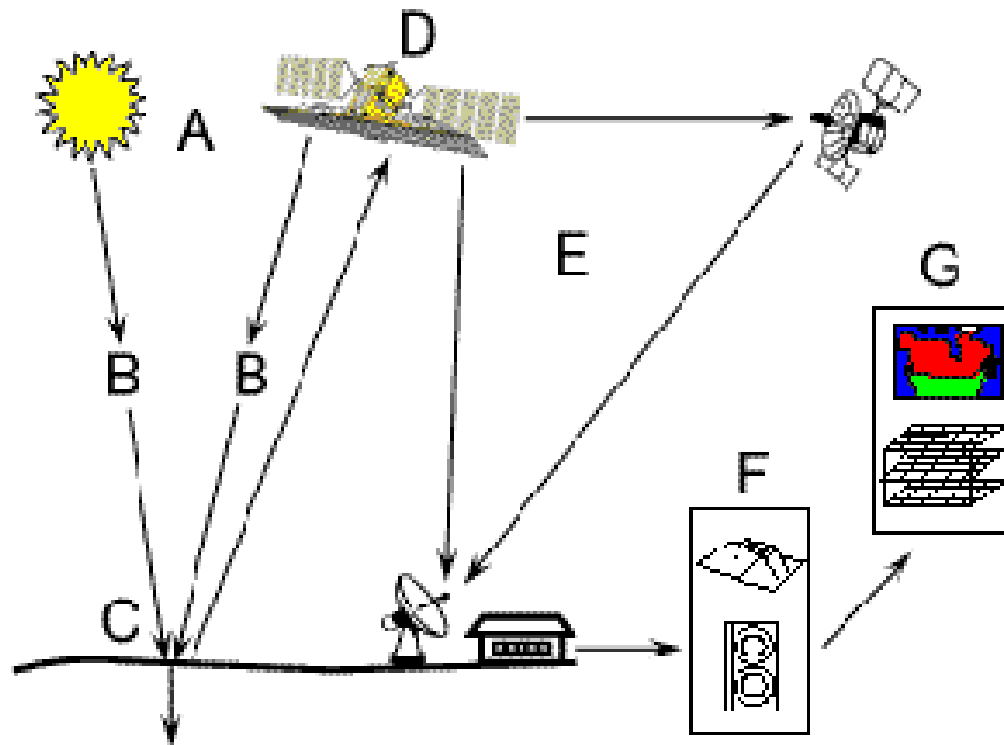
Que forneceu pela primeira vez um conjunto consistente de imagens sinópticas de elevada resolução à comunidade científica mundial.

A principal característica deste sensor era a possibilidade de registar várias bandas espectrais (4 bandas, com 100 nm de largura cada) com uma resolução temporal de 18 dias.

Os dados eram adquiridos e difundidos pela primeira vez em formato digital.

Detecção Remota

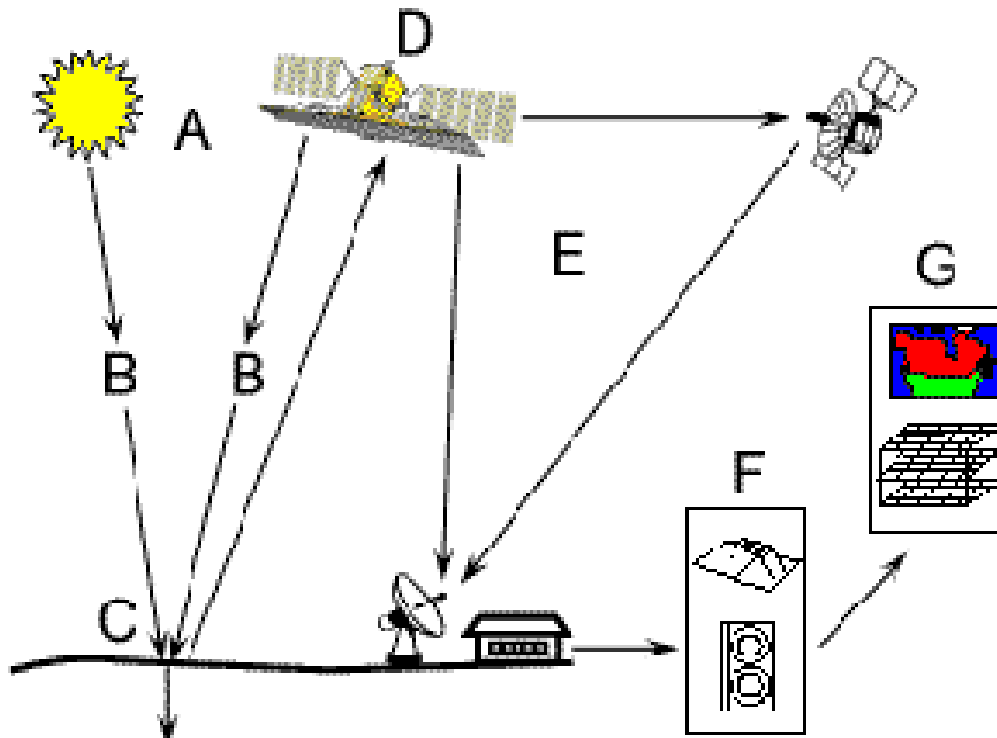
Em grande parte da Detecção Remota **o processo** envolve uma interacção entre a radiação incidente e os alvos de interesse.



Isto é exemplificado pelo uso de sistemas de imagem onde os sete elementos indicados na figura estão envolvidos.

Estes sete elementos compõem o processo de Detecção Remota do começo ao fim.

Detecção Remota



A – Fonte de energia

B – radiação e Atmosfera

C – Interacção com alvo

D – Registo da energia pelo sensor

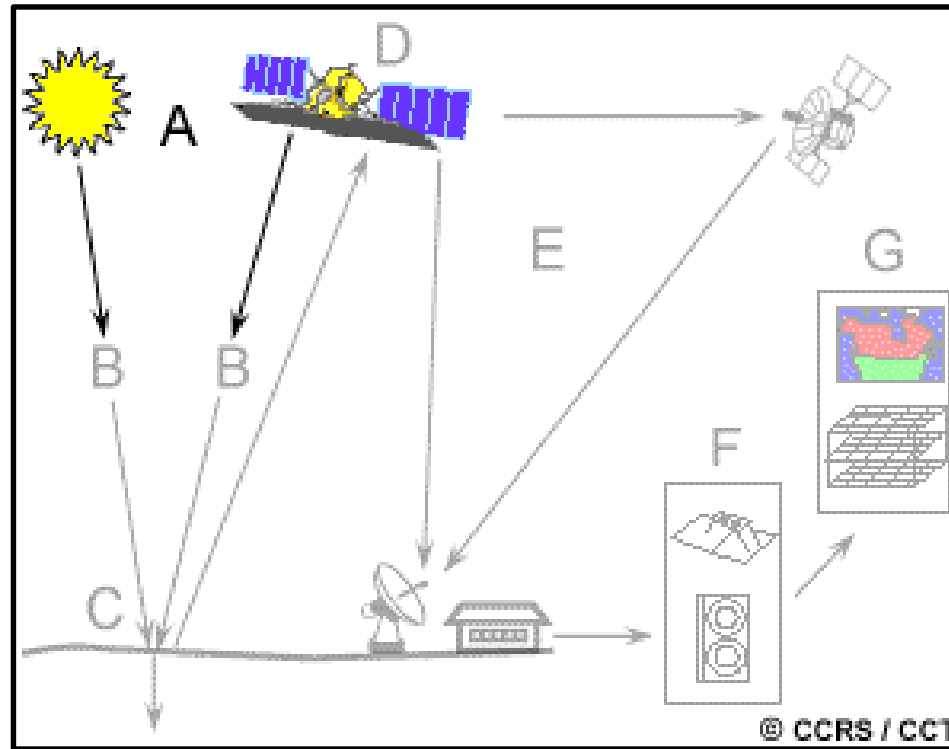
E – Transmissão, recepção e processamento

F – Interpretação e Análise

G - Aplicação

© CCRS / CCT

Radiação Electromagnética



O primeiro requisito para a detecção remota é a existência de uma fonte de energia para iluminar o alvo (a menos que a energia seja emitida pelo alvo). Esta energia é da forma de radiação electromagnética.

Radiação Electromagnética

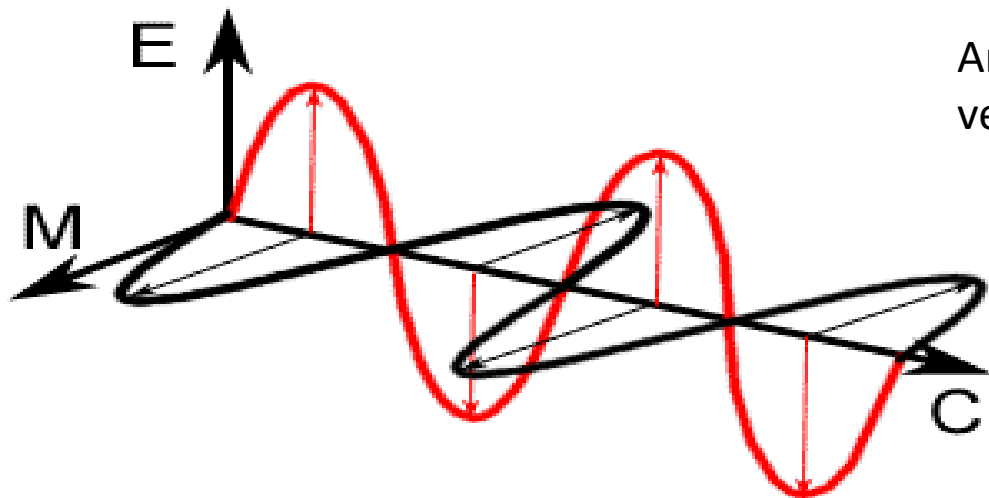
A radiação Electromagnética consiste

Campo Eléctrico

Que varia em magnitude numa direcção perpendicular à direcção de deslocamento da radiação

Campo Magnético

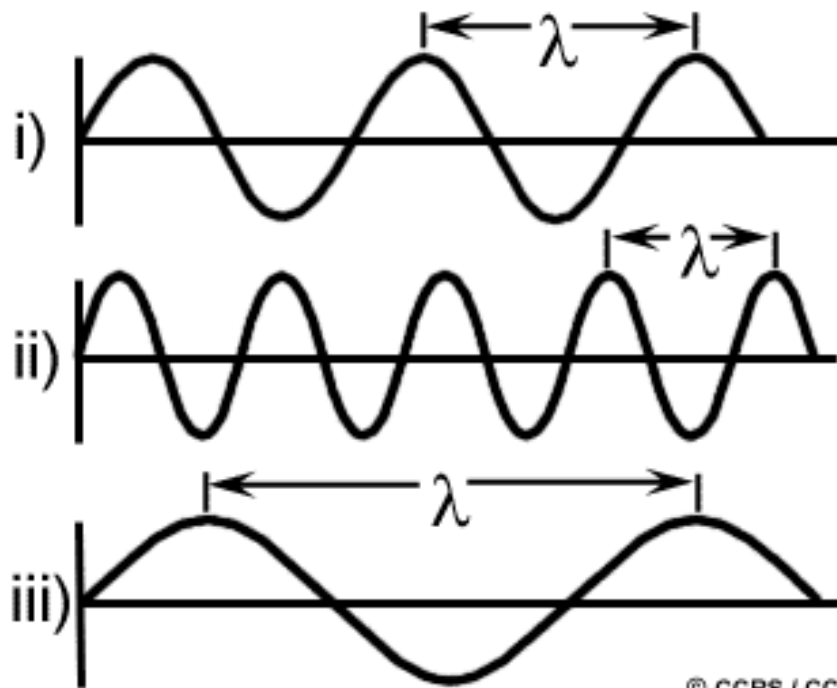
Orientado perpendicularmente ao campo eléctrico.



Ambos se deslocam à velocidade da luz (c).

Radiação Electromagnética

Duas características da radiação electromagnética são particularmente importantes para a compreensão da Detecção Remota. São elas:



**Comprimento de onda
(λ)**

**Frequência
(f)**

© CCRS / CCT

Radiação Electromagnética

Comprimento de onda (λ)

É o comprimento de um ciclo de onda, que pode ser medido como a distância entre duas cristas de onda.

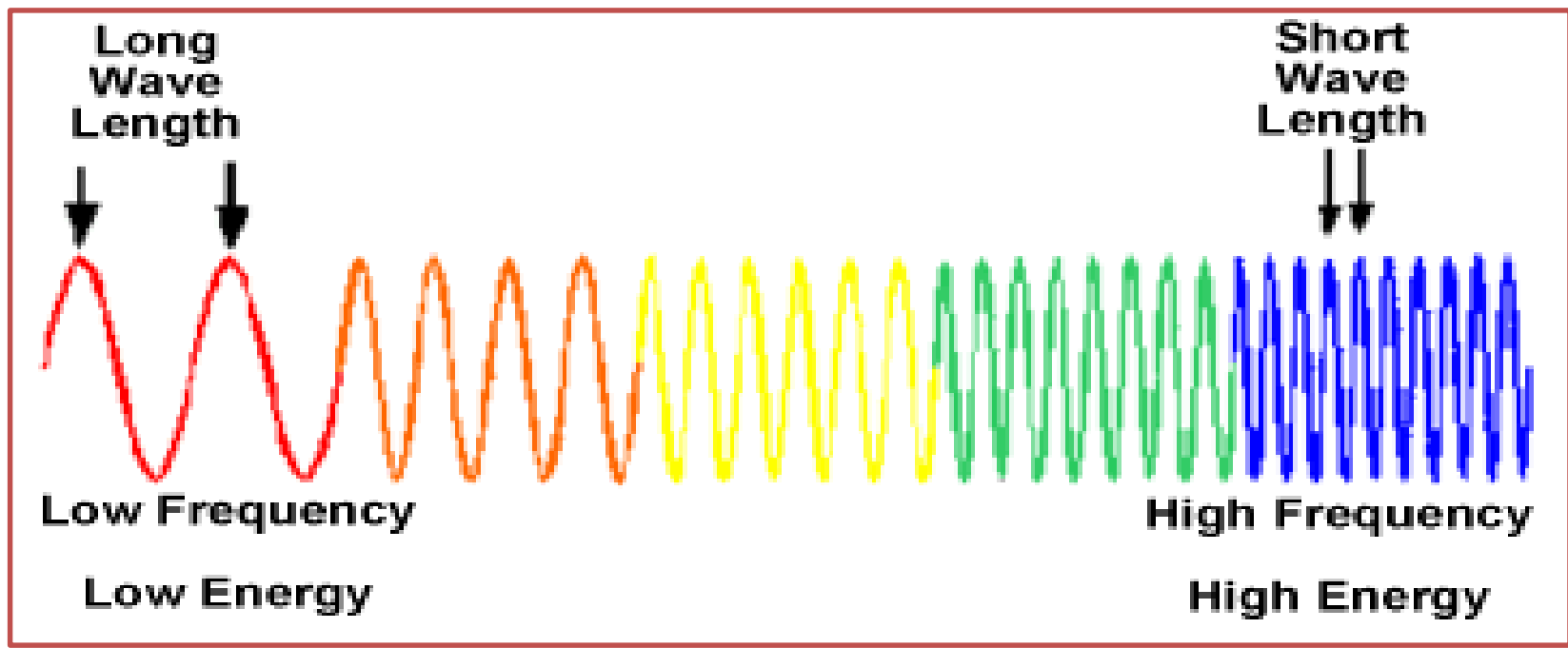
É medido em metro (m) ou sub-fracções do metro: nanómetro (nm, 10^{-9} m), micrómetro (μm , 10^{-6} m) (μm , 10^{-6} m) ou centímetros (cm, 10^{-2} m).

Frequência (f)

É o número de ciclos de uma onda que passa num ponto fixo por unidade de tempo. A frequência é medida em hertz (Hz) equivalente a um ciclo por segundo.

Também se usa como medida os múltiplos do Hz (kHz, MHz, GHz)

Radiação Electromagnética



$$c = \lambda f$$

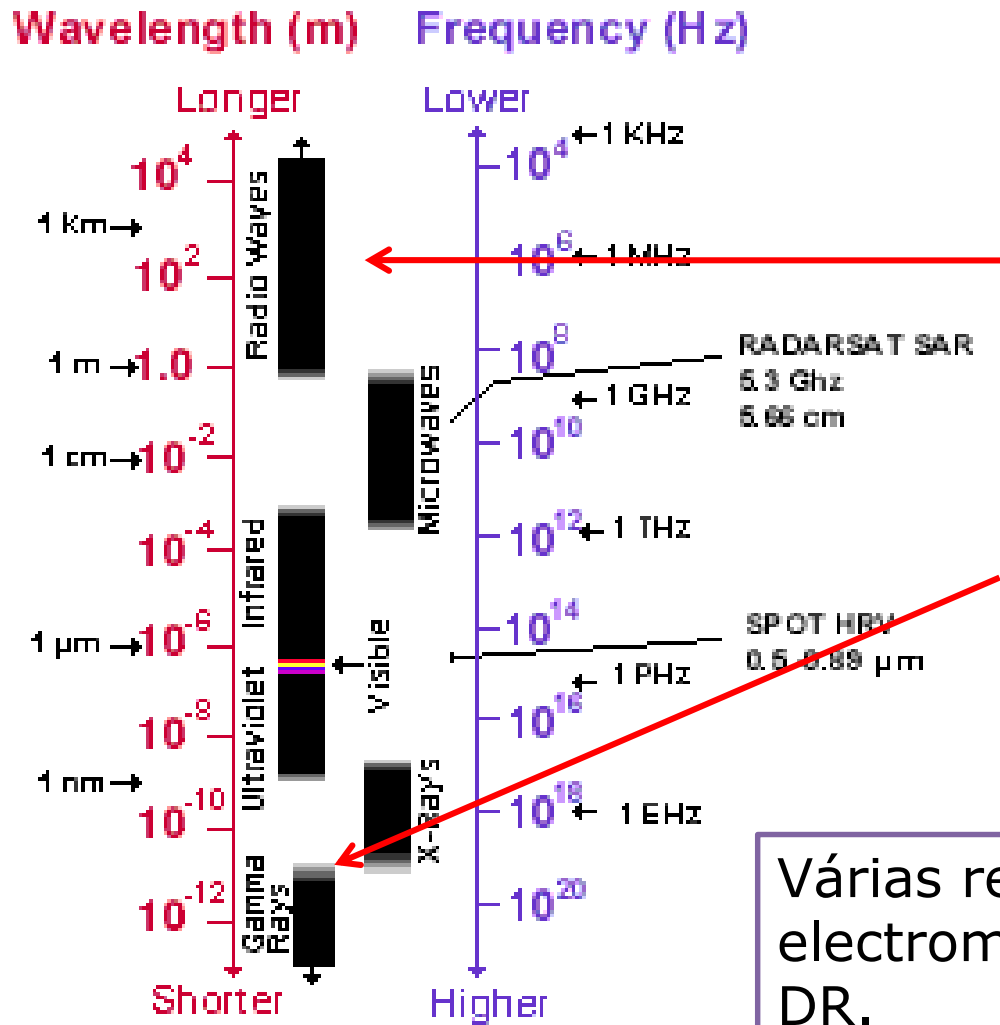
c = velocidade da luz no
vácuo ($3 \times 10^8 \text{ m s}^{-1}$)

$$Q = h \cdot f$$

Q = energia do fotão
 h = constante de Planck
($6.3 \times 10^{-34} \text{ J s}^{-1}$)

Espectro Electromagnético

3+

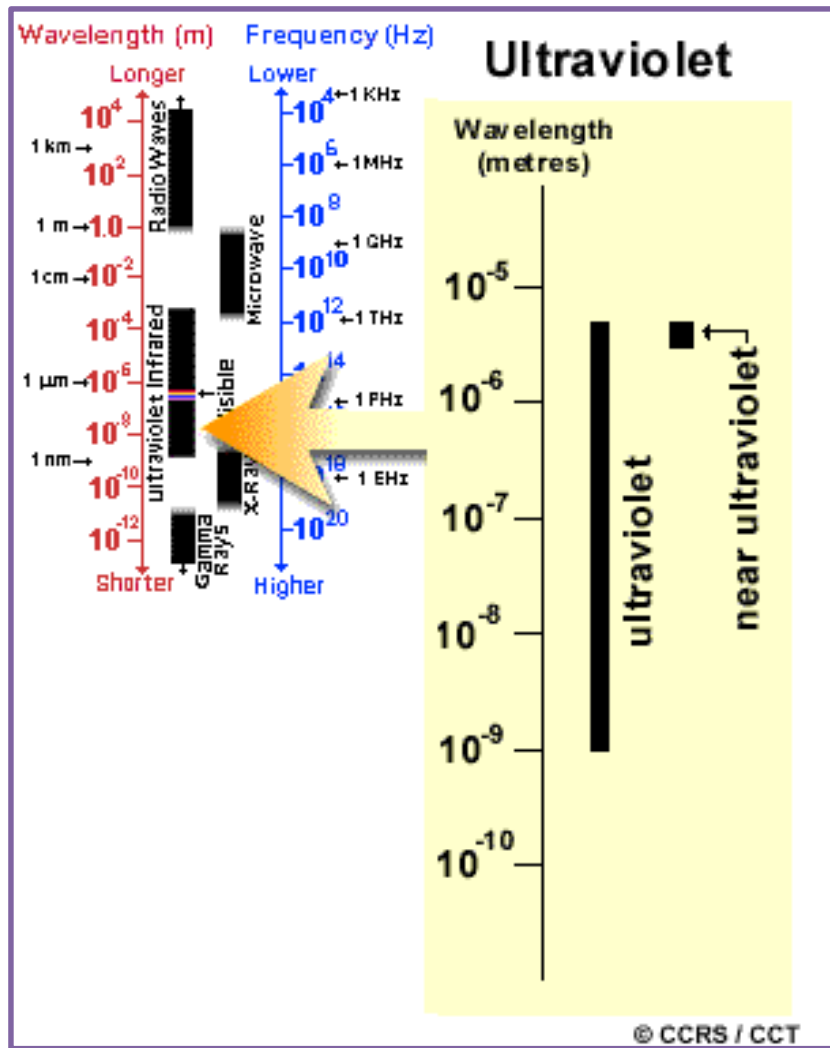


O Espectro Electromagnético vai desde os grandes comprimentos de onda (incluindo as microondas e as ondas rádio) pequenos comprimentos de onda (incluindo raios X e Gama)

Várias regiões do espectro electromagnético são úteis na DR.

Espectro Electromagnético

2+

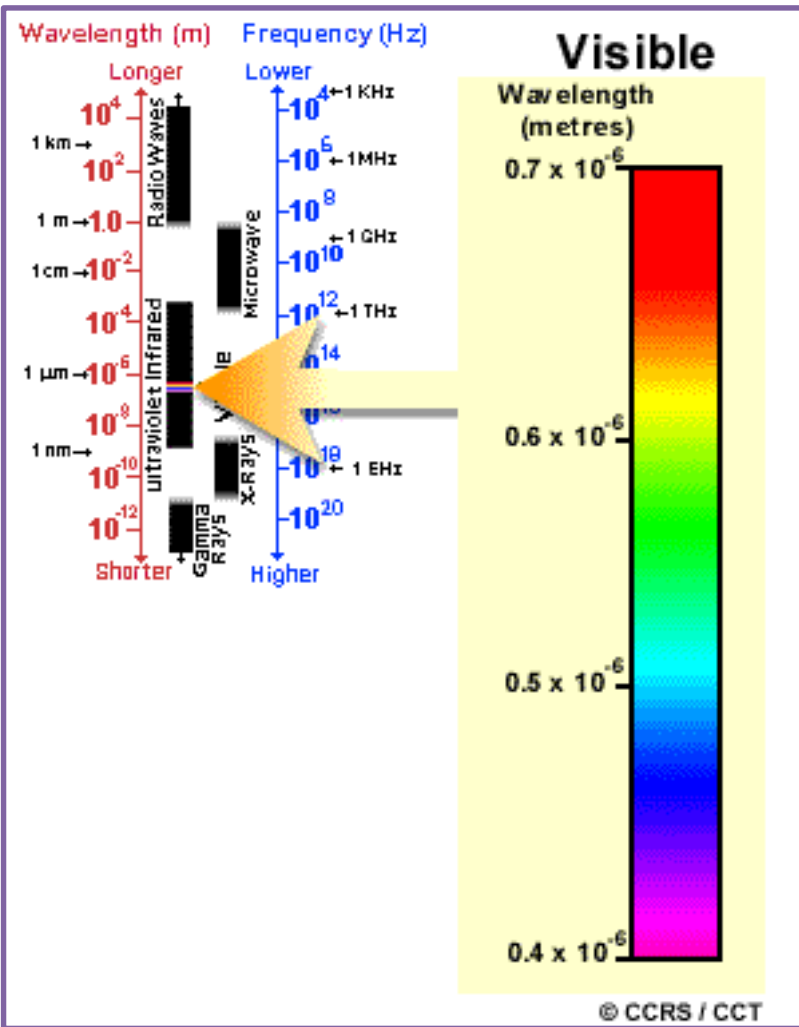


Para a maioria das aplicações, o menor comprimento de onda usado na Detecção Remota é a porção do EE correspondente aos Ultravioleta (UV).

Esta radiação está imediatamente abaixo do violeta (visível), daí o nome.

Alguns elementos na superfície da Terra, rochas e minerais, emitem luz visível quando iluminados por radiação UV.

Espectro Electromagnético



A luz que os nossos olhos conseguem detectar é a porção designada por espectro visível.

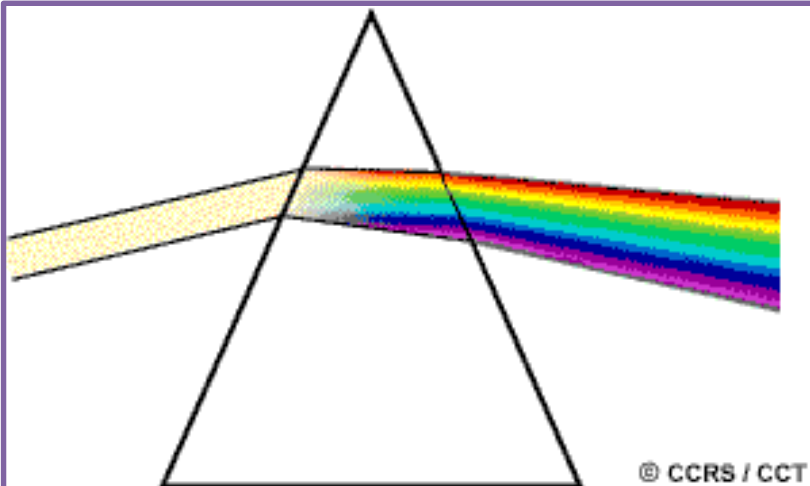
É importante referir o quanto pequeno é o visível relativamente à totalidade do espectro.

O visível vai desde os $0.4 \mu\text{m}$ aos $0.7 \mu\text{m}$

Esta região do espectro está associada ao conceito de cor.

Espectro Electromagnético

A COR



Violeta:	0.400 - 0.446 μm
Azul:	0.446 - 0.500 μm
Verde:	0.500 - 0.578 μm
Amarelo:	0.578 - 0.592 μm
Laranja:	0.592 - 0.620 μm
Vermelho:	0.620 - 0.700 μm

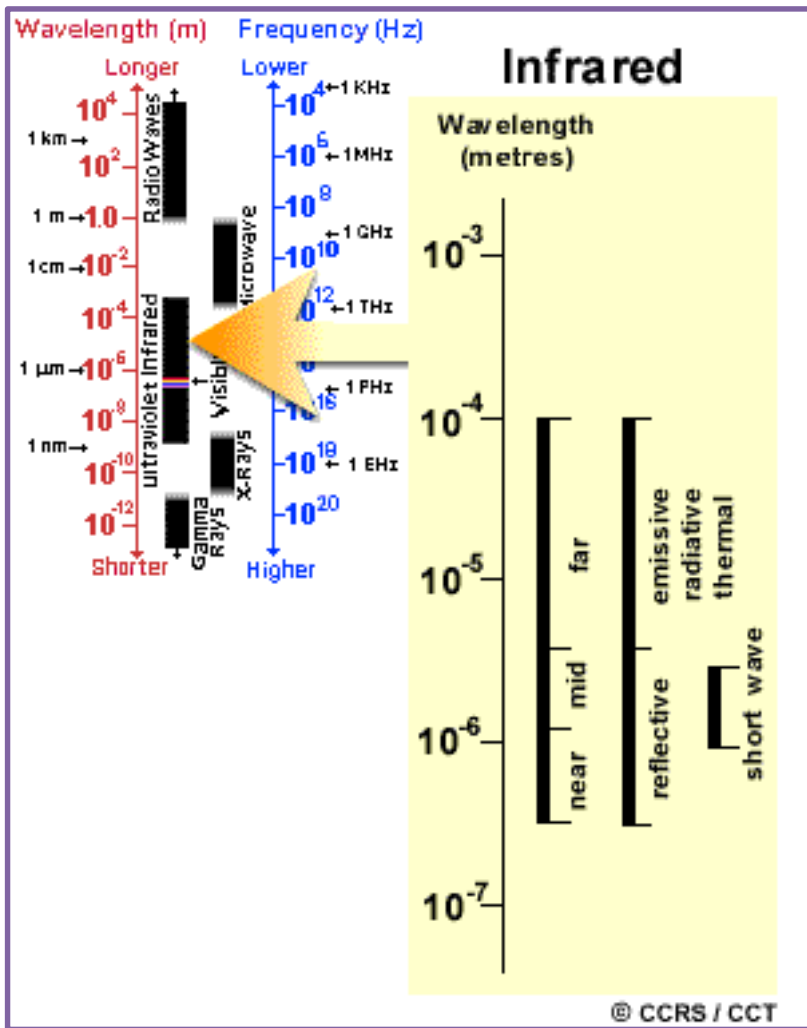
O Azul, Verde e Vermelho são as cores primárias ou comprimentos de onda do espectro visível.

São definidas desta forma porque nenhuma cor primária pode ser construída a partir das outras duas, mas todas as outras podem ser criadas a partir da combinação destas três combinando as proporções.

Embora vejamos a luz do Sol como uma cor uniforme e homogénea é composta de vários comprimentos de onda de radiação essencialmente das regiões do espectro do ultravioleta, visível e infravermelho

Espectro Electromagnético

1+



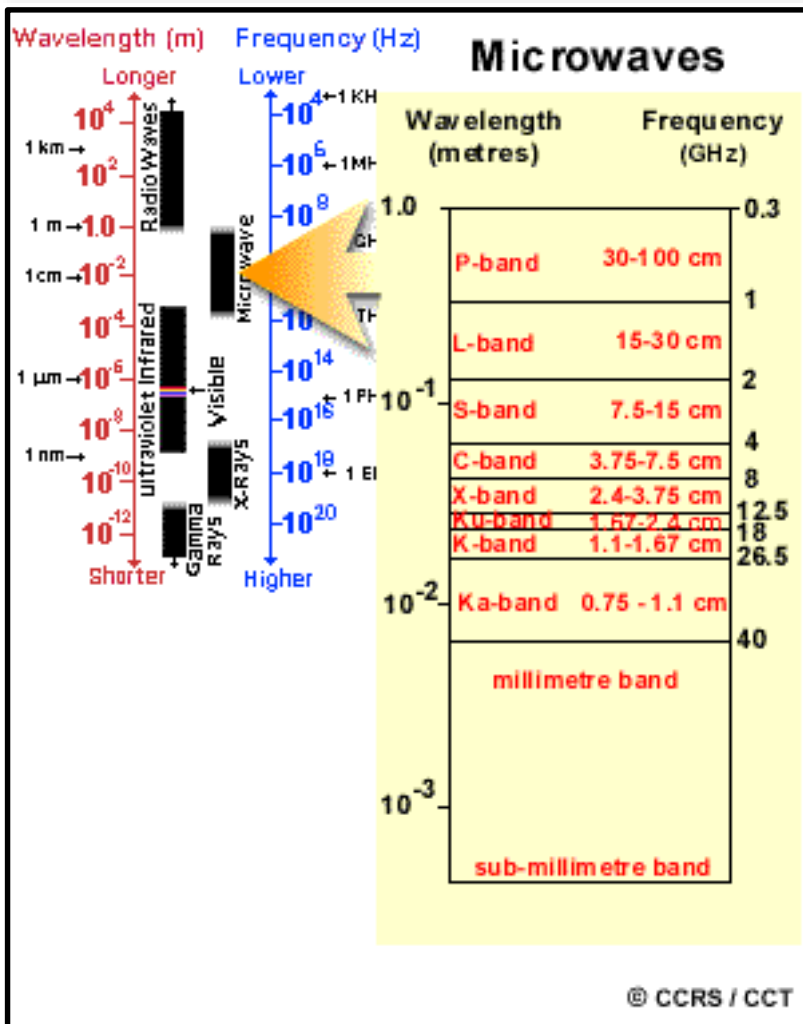
O Infravermelho vai desde os $0.7 \mu\text{m}$ aos $100 \mu\text{m}$

A região do infravermelho é dividida em duas categorias:

- IV reflectido ($0.7\mu\text{m}$ a $3.0\mu\text{m}$)
- IV térmico ($3.0\mu\text{m}$ a $100 \mu\text{m}$)

O IV térmico é diferente do visível uma vez que a energia é essencialmente a radiação emitida pela Terra sob a forma de calor.

Espectro Electromagnético



A **região das microondas** vai desde 1mm a 1m.

Cobre a maior região usada na detecção remota.

Os pequenos comprimentos de onda têm um comportamento idêntico ao infravermelho térmico enquanto que os grandes comprimentos de onda têm um comportamento idêntico às ondas rádio



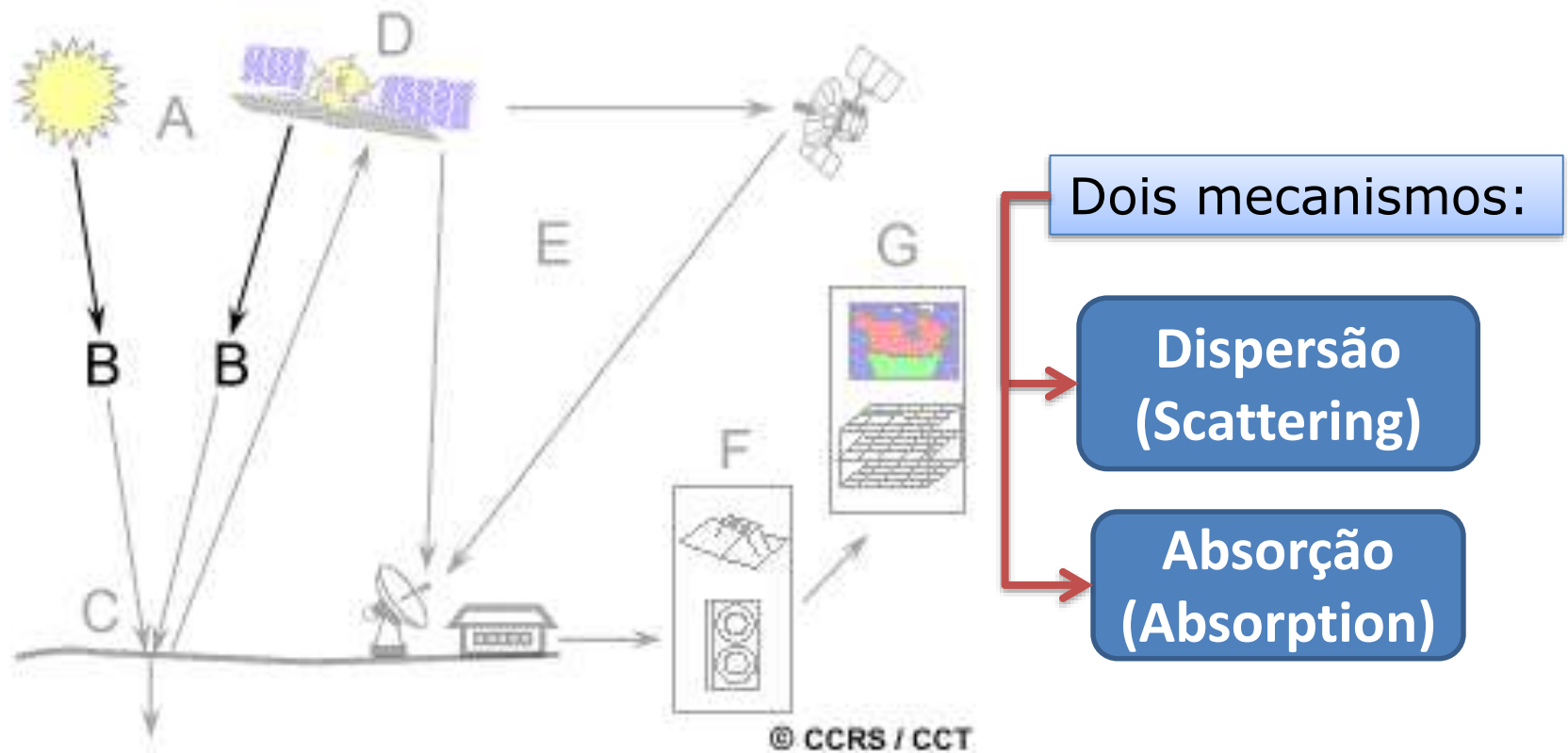
Espectro Electromagnético

A região das microondas também se designa RADAR que é o acrónimo de **R**adio **D**etection **A**nd **R**anging

Designação	Frequência (GHz)	Comp. Onda (cm)
P		
L	1-2	15-30
S	2-4	7.5-15
C	4-8	3.8-7.5
X	8-12.5	2.4-3.8
Ku	12.5-18	1.7-2.4
K	18-26.5	1.1-1.7
Ka	26.5-40	0.8-1.1
W	> 50	< 0.6

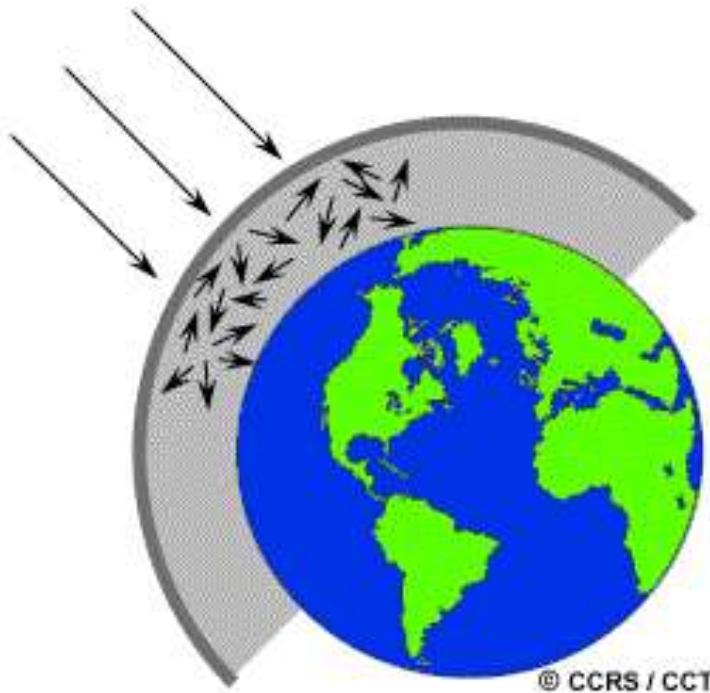
Interacção com a Atmosfera

As partículas e gases da atmosfera afectam a radiação registada pelo sensor abordo do satélite



Interacção com a Atmosfera

3+



A **Dispersão** consiste na alteração da direção de propagação da radiação eletromagnética (ou do fotão) sem que ocorra troca de energia com a atmosfera.

Três tipos de dispersão:

Rayleigh

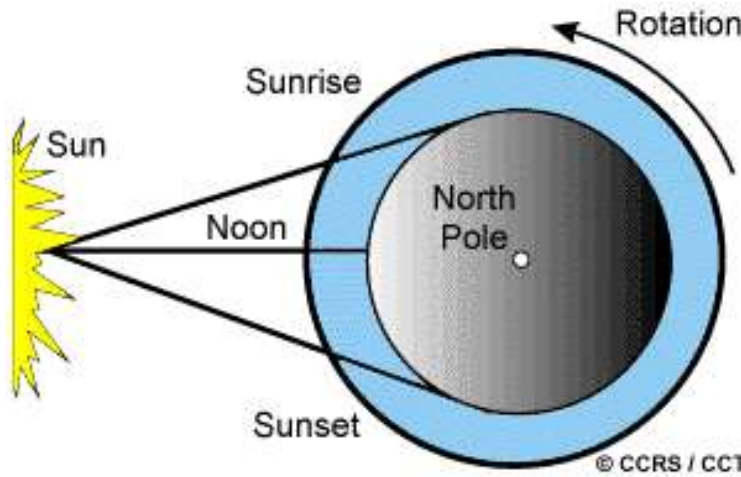
Mie

Não selectivo

O processo de dispersão da radiação depende da relação entre o comprimento de onda da radiação incidente e o diâmetro (D) das partículas intervenientes.

Interacção com a Atmosfera

2+



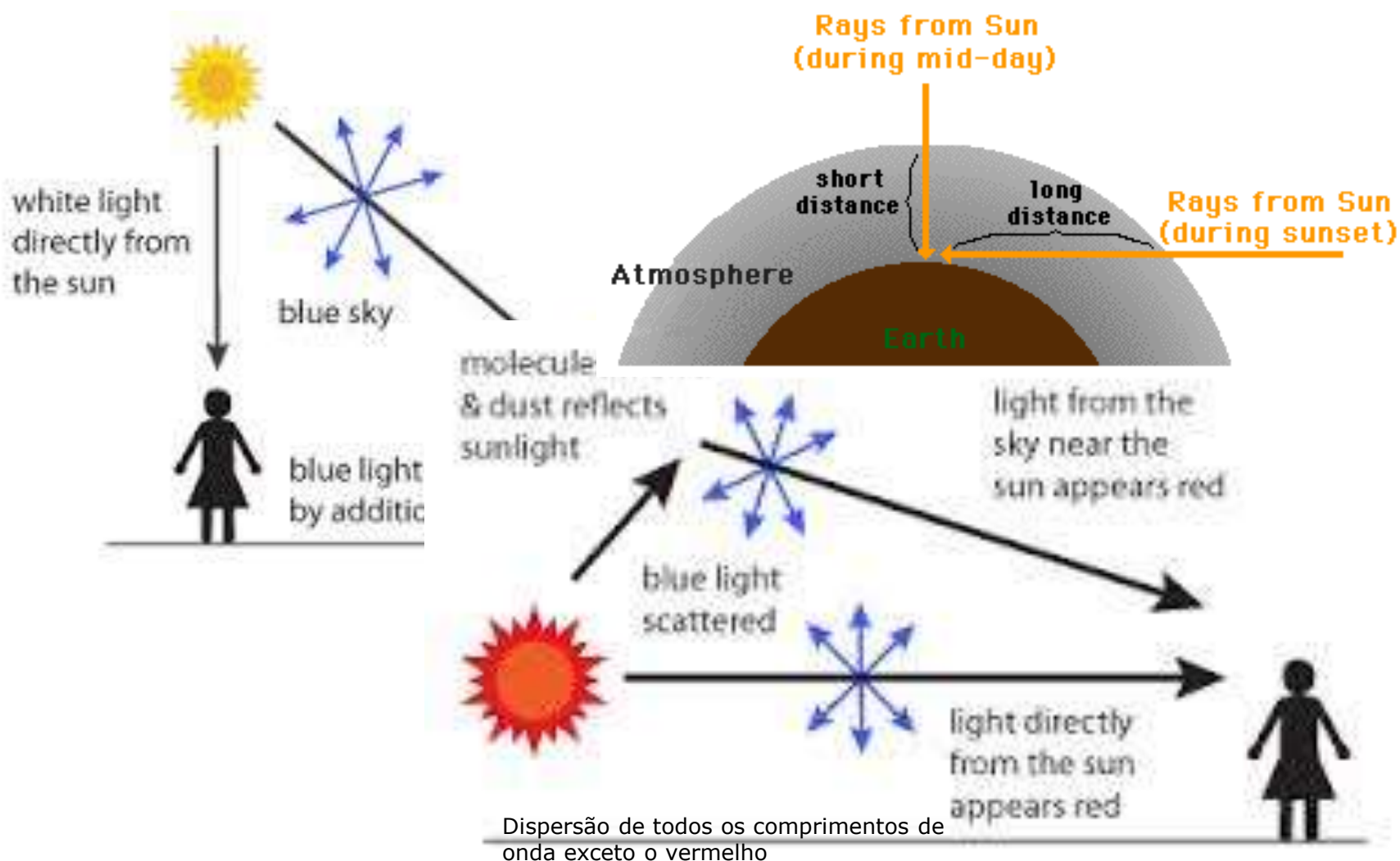
A dispersão Rayleigh

ocorre quando as partículas são muito pequenas quando comparadas com o comprimento de onda da radiação (pequenas partículas de pó ou moléculas de oxigénio ou nitrogénio).

A dispersão Rayleigh é o resultado de uma maior dispersão nos pequenos comprimento de onda que nos grandes comprimentos de onda (por isso o céu é azul).

A dispersão Rayleigh é dependente do comprimento de onda $\sim \lambda^{-4}$

A dispersão Rayleigh



Interacção com a Atmosfera

A **dispersão de Mie** ocorre quando as partículas são do mesmo tamanho que o comprimento de onda da radiação.

São exemplos: o pó, pólen, fumo e vapor de água

Estes elementos causam a dispersão Mie que tem tendência para afectar **maiores comprimentos** de onda que a dispersão de Rayleigh.

A dispersão de Mie ocorre nas porções mais baixas da atmosfera onde as grandes partículas são mais abundantes.

É o caso da dispersão da luz visível por gotículas das nuvens traduzido na cor esbranquiçada das nuvens

Interacção com a Atmosfera



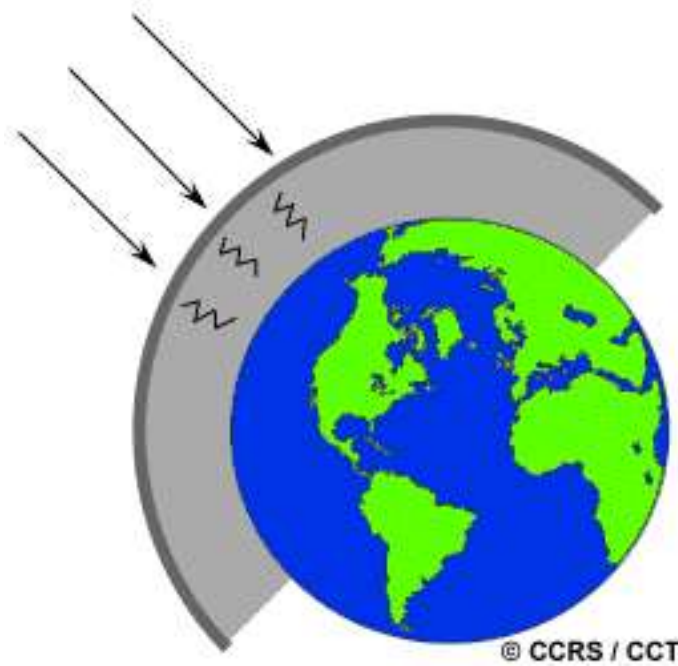
A **dispersão não selectiva** ocorre quando as partículas são muito maiores que o comprimento de onda da radiação.

Afecta todos os comprimentos de onda por igual.

Pingos de água e grandes partículas de pó são a causa desta dispersão.

Este tipo de dispersão faz com que o nevoeiro e as nuvens surjam brancas aos nossos olhos, porque o azul, verde e vermelho são afectados da mesma forma e $\text{azul} + \text{verde} + \text{vermelho} = \text{luz branca}$

Interacção com a Atmosfera



Absorção: este fenómeno faz com que as moléculas na atmosfera absorvam energia nos vários comprimentos de onda.

O ozono, dióxido de carbono e o vapor de água são os três constituintes atmosféricos que absorvem radiação.

O **Ozono** absorve a radiação ultravioleta prejudicial à maioria dos seres vivos.

Interacção com a Atmosfera

Já ouvimos referir que o **dióxido de carbono** é o gás de efeito de estufa.

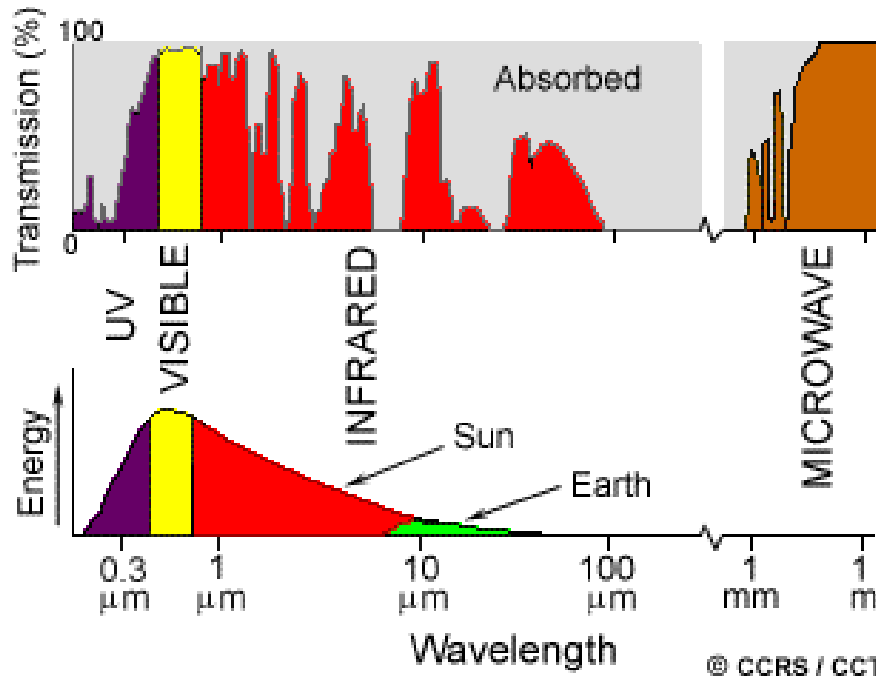
Isto é porque tende a absorver (fortemente) radiação na porção do espectro do infravermelho afastado – a área associada ao aquecimento térmico – que provoca o aquecimento no interior da atmosfera.

O **vapor de água** na atmosfera absorve muitos dos grandes comprimentos de onda no infravermelho afastado e nas microondas.

A presença de vapor de água na atmosfera varia muito no tempo e no espaço.

O vapor de água é um elemento importante na degradação da qualidade do registo da radiação pelo sensor.

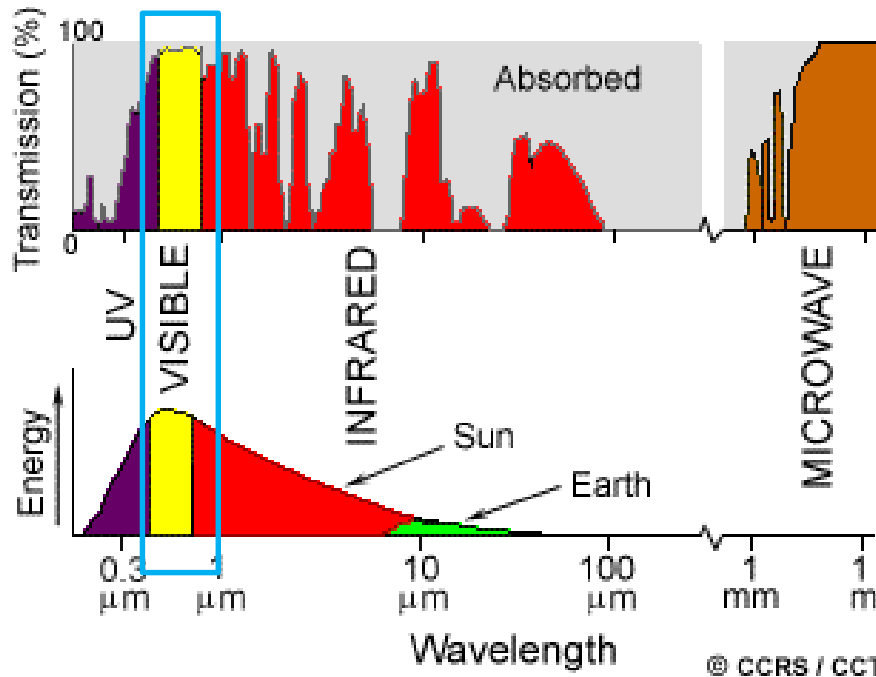
Interacção com a Atmosfera



Como estes gases absorvem energia electromagnética em regiões muito específicas do espectro, eles influenciam onde podemos “olhar” para efeitos da detecção remota.

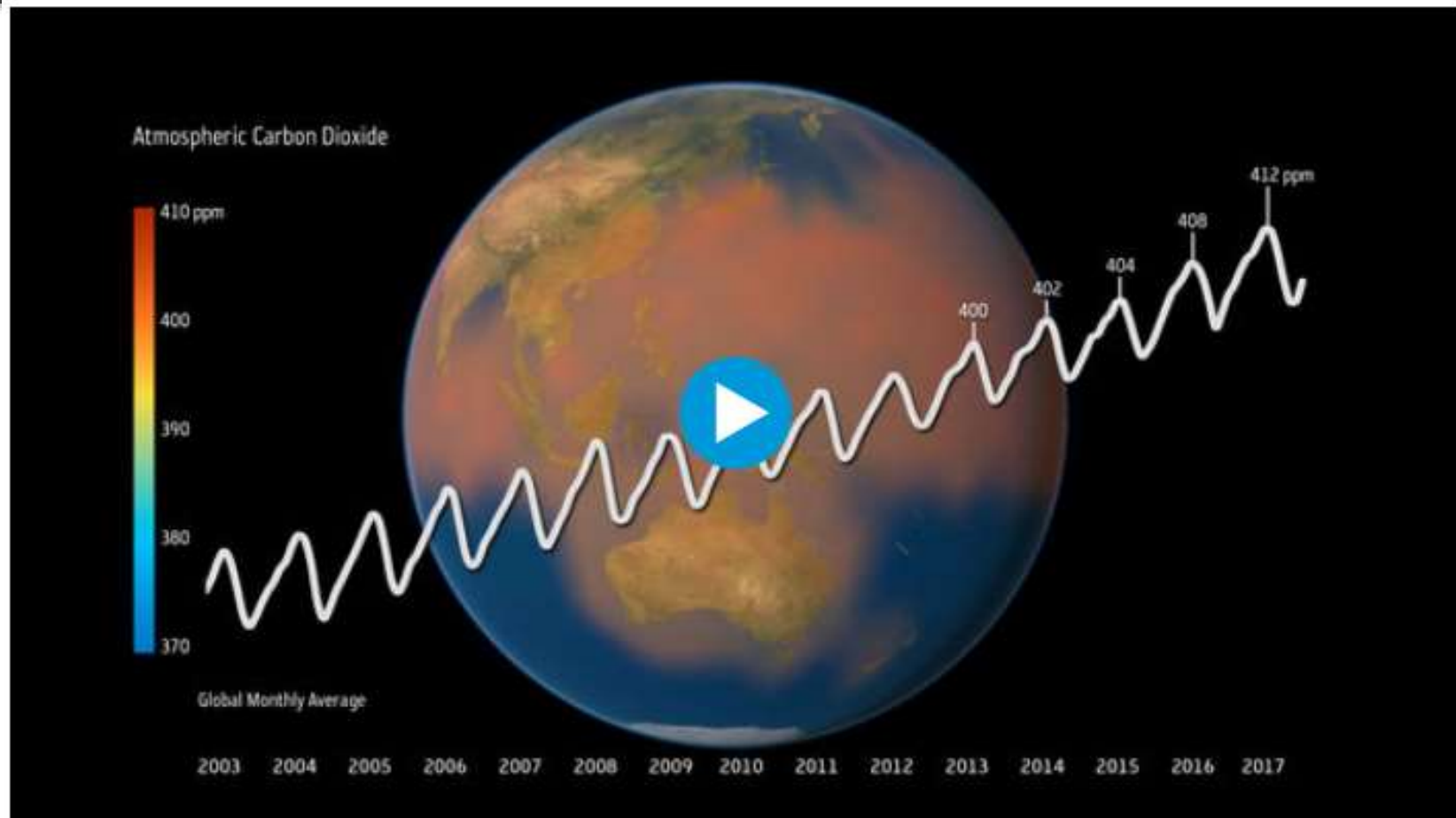
Essas áreas do espectro que não são severamente influenciadas pela absorção atmosférica, e são consequentemente úteis para a detecção remota, são chamadas: **janelas atmosféricas** (atmospheric windows)

Interacção com a Atmosfera



A parte visível do espectro, aos quais os nossos olhos são sensíveis, corresponde a uma janela atmosférica e também a um pico de energia do Sol.

A energia calorífica emitida pela Terra corresponde a uma janela em torno dos $10 \mu\text{m}$ no IV térmico e a grande janela dos comprimentos de onda maiores que 1mm corresponde às microondas.



Watch in:

DOWNLOAD

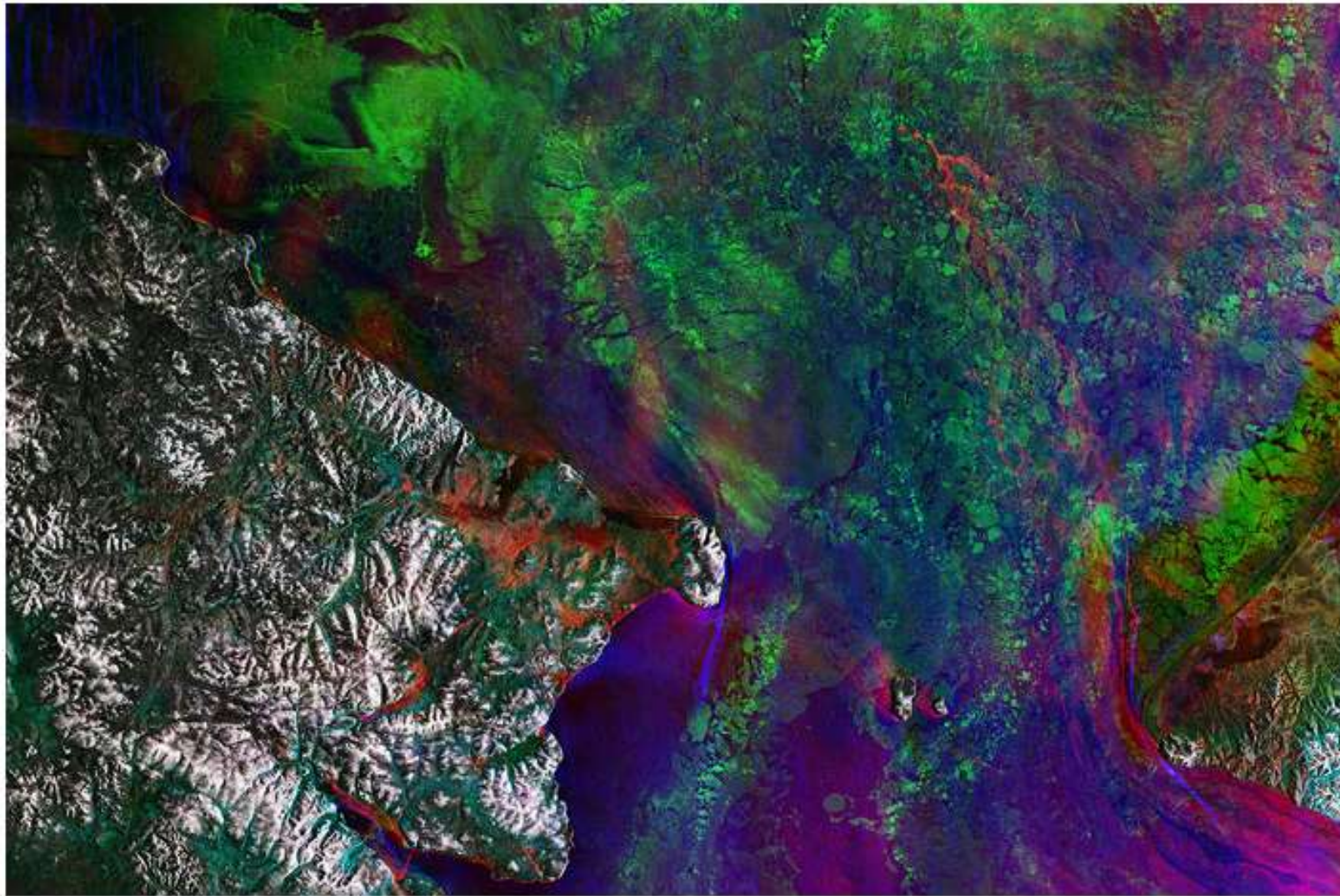
MP4

(24.43 MB)

Embed Code

```
<iframe  
src="https://www.esa.int/spaceinvideos/content/view/embedjw/498285" style="border: 1px solid black; width: 100%; height: 100%;">
```

BERING STRAIT



The image was created by combining three radar scans of 11 December 2017, 23 December 2017 and 4 January 2018. Each image has been assigned a different colour: blue, red and green, respectively. This creates a colourful composite that highlights how the sea ice changed over the four weeks.

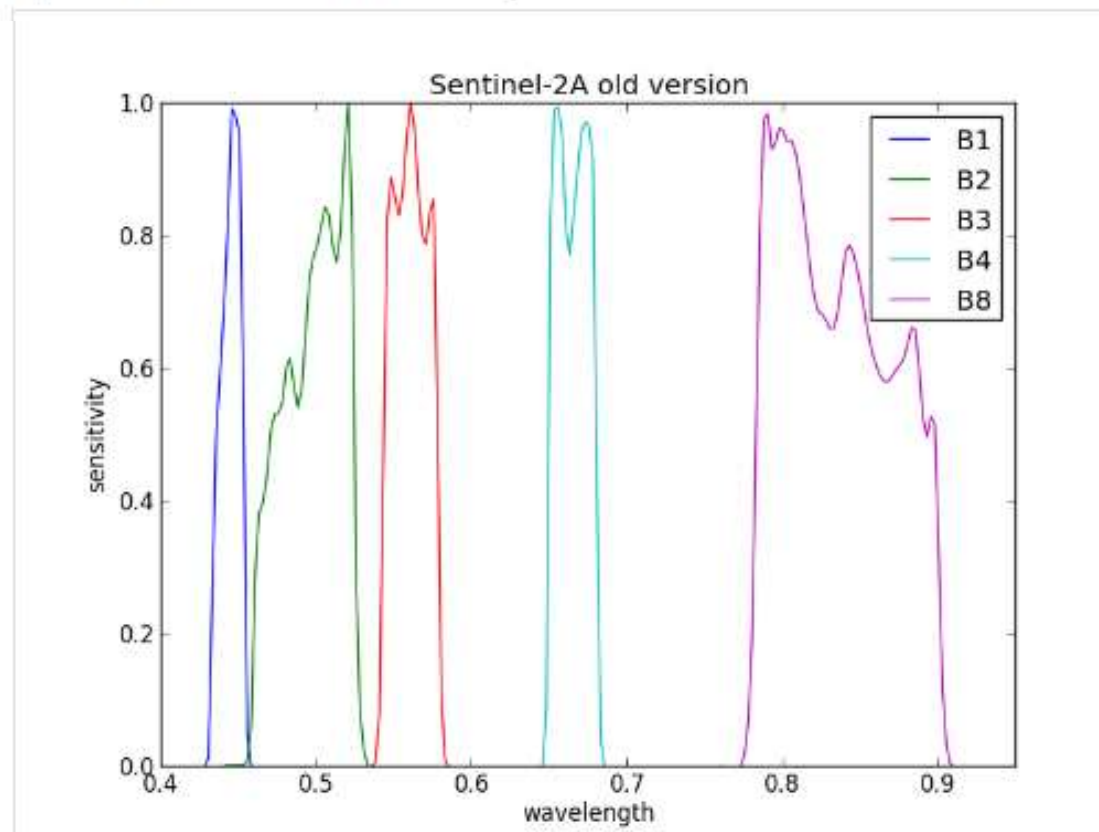
Revised spectral bands for Sentinel-2A

08/01/2018 · Olivier Hagolle · Reply

The Sentinel-2 mission status document, edited by ESA, is a very interesting reading. On its last edition of 2017, ESA announced very discretely that the spectral bands of Sentinel-2 had been revised, following a review of the pre-flight measurements. Very few details are provided on the nature of the error contained in the previous version, and on the validation of the new ones. But still, a new version of the spectral response function is available [here](#), since the 19th of December 2017. The site provides an excel file with the spectral response functions.

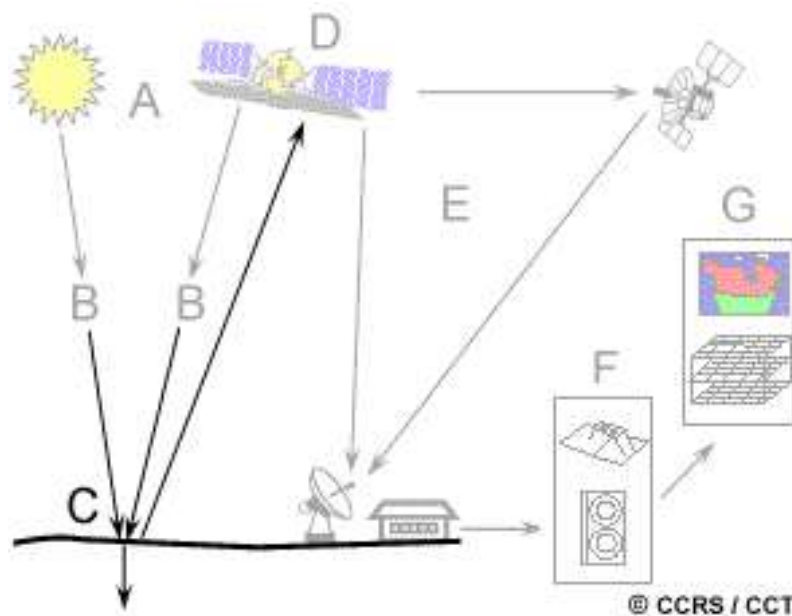
All the visible and near infrared bands have changed a little, even if only three bands have significant changes, B1, B2 and B8: B2 equivalent wavelength changes by 4 nm, B1 by 1 nm, and B8 by 2 nm. The SWIR bands did not change.

Most users should not use band B1 and B2, as they



Interacção Radiação - Alvo

2+



A **energia total incidente** irá interagir com a superfície de uma ou mais que uma destas formas.

A radiação que não é absorvida ou dispersa na atmosfera pode chegar e interagir com a superfície da Terra.

Existem três formas de interagir com a superfície:

- **Absorção**
- **Transmissão**
- **Reflexão**

Interacção Radiação - Alvo

2+

Absorção (A):

Ocorre quando a radiação (energia) é absorvida pelo alvo

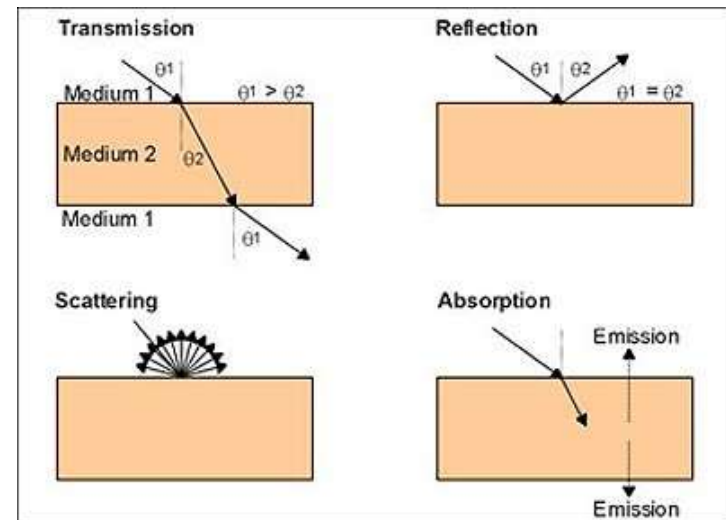
Transmissão (T):

Ocorre quando a radiação passa pelo alvo.

Reflexão (R)

Ocorre quando a radiação é reflectida no alvo e é redirecccionada.

Em detecção remota
estamos interessados em
medir a
radiação reflectida
nos alvos



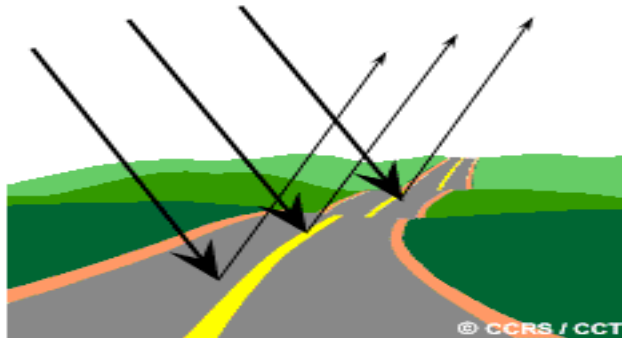
Interacção Radiação - Alvo

2+

Separamos a Reflexão em dois casos extremos:

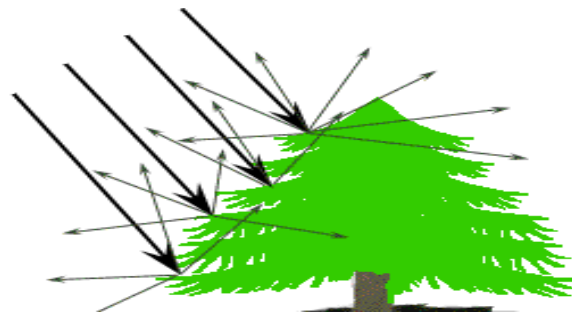
Especular (specular)

Numa superfície suave toda ou quase toda a energia é reflectida numa única direcção



Difusa (diffuse)

Quando a superfície é rugosa e a energia é reflectida uniformemente em todas as direcções



Se o comprimento de onda é muito mais pequeno que as variações da superfície ou o tamanho das partículas, dominará a reflexão difusa.

Interacção Radiação - Alvo

Especular

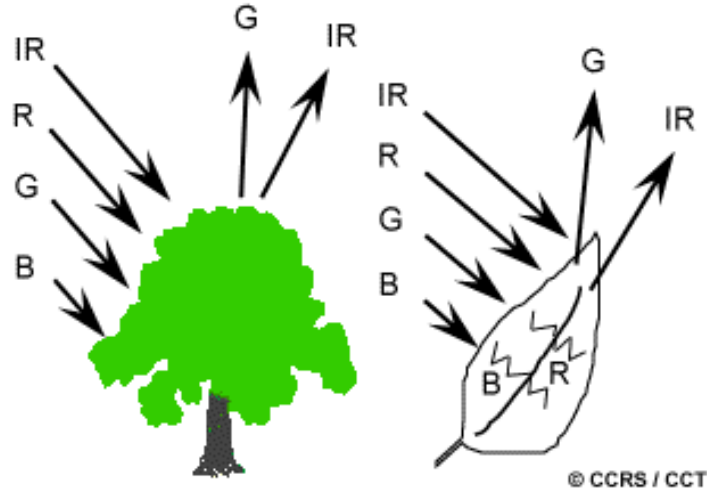


Difusa



Interacção Radiação – Alvo

Exemplo: As folhas



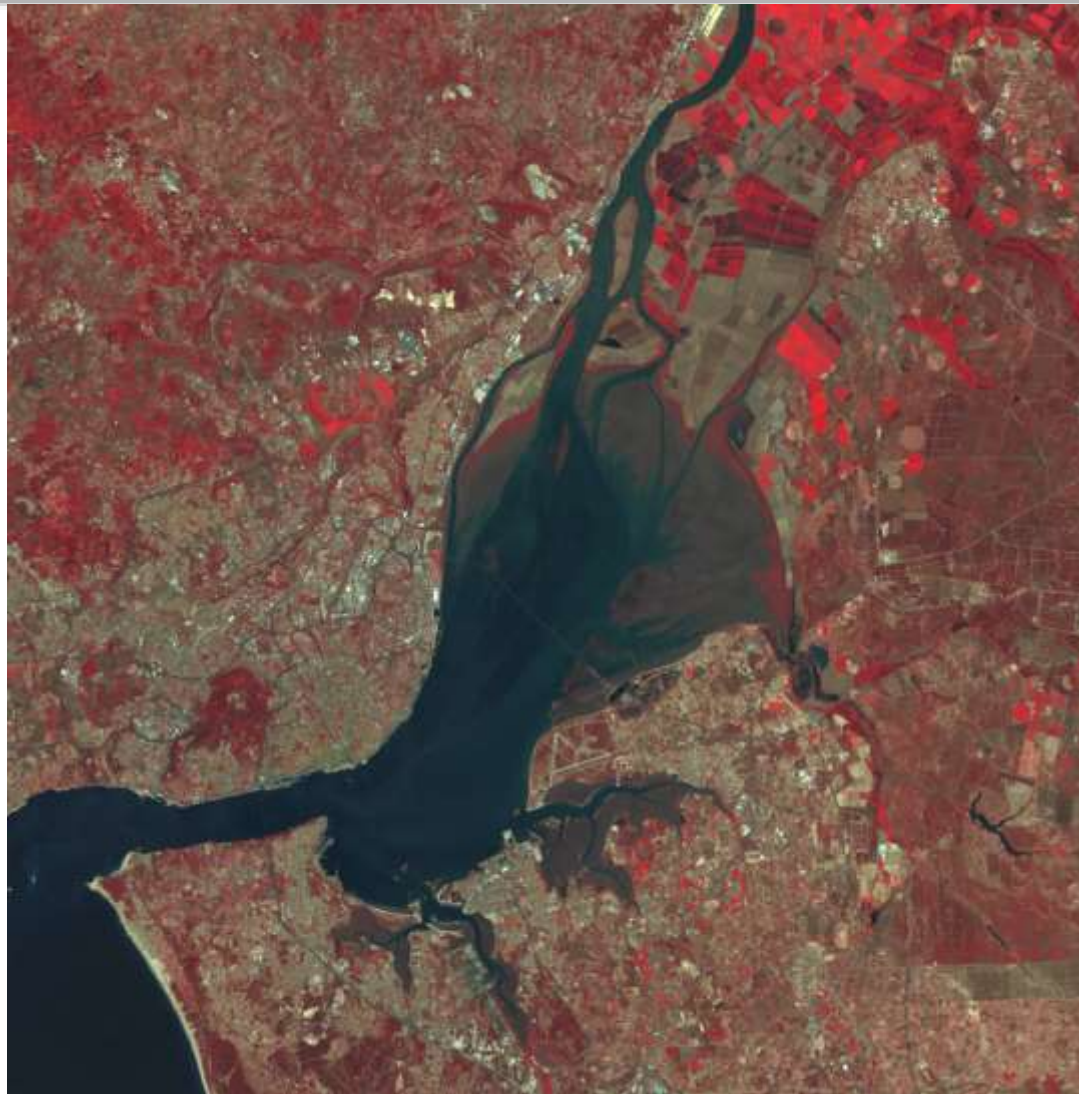
O pigmento das folhas, a clorofila, absorve radiação no visível para uso na fotossíntese.

A estrutura das células das folhas reflete fortemente o infravermelho.

No Outono há menos clorofila, e por isso menos absorção do vermelho (vermelho é refletido) e por isso as folhas surgem amarelas (combinação verde+vermelho)

A estrutura interna das folhas têm uma reflexão difusa nos comprimentos de onda do IV. Por isso monitorizando a reflectância no IV é um indicador da saúde da vegetação

Landsat :composição 4-3-2





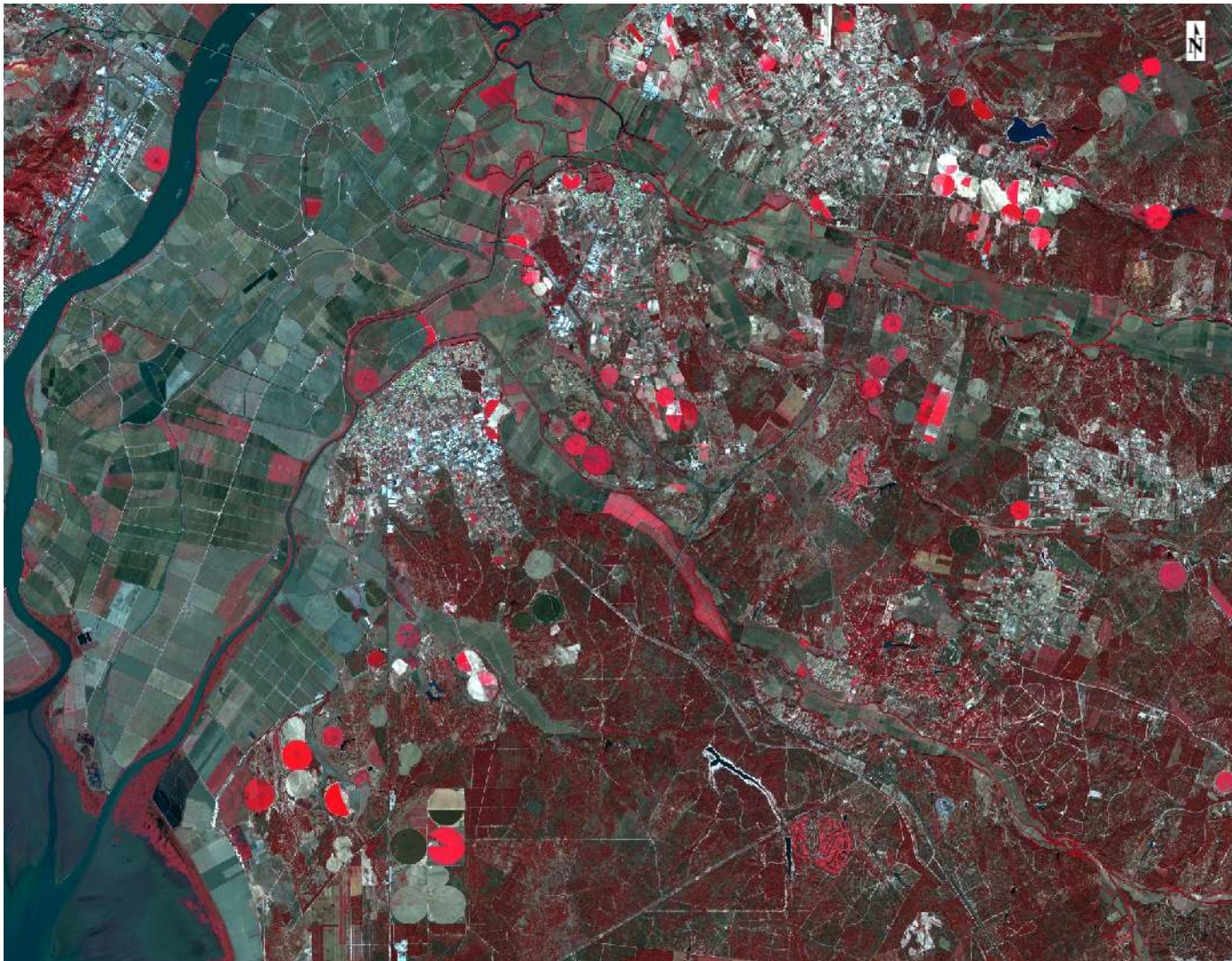
Sentinel-2:composição 4-3-2

22 out 2017



Sentinel-2:composição 8-4-3

22 out 2017



Sentinel-2:composição 8-4-3

Companhia das Lezírias



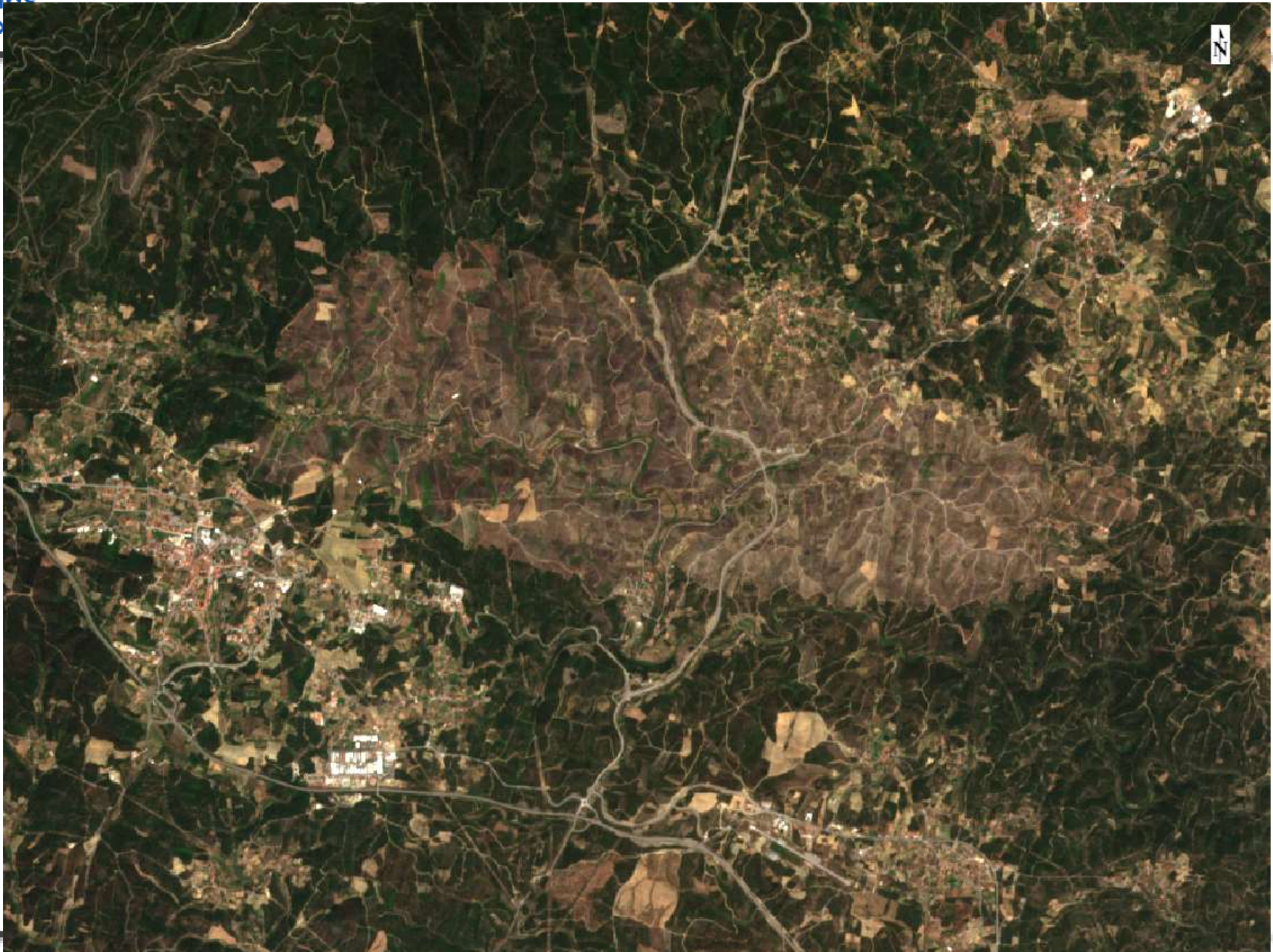


Ciências
ULisboa

Sentinel-2:composição 8-4-3

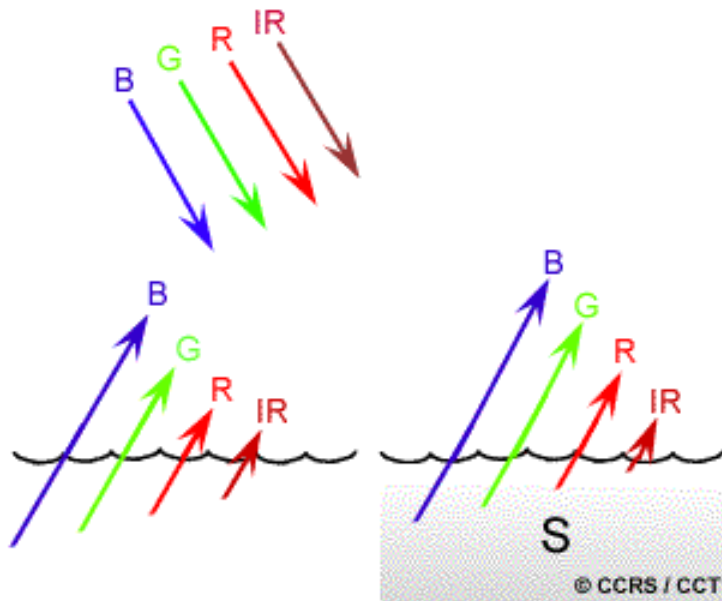


Sentinel-2:composição 4-3-2



Interacção Radiação – Alvo

Exemplo: água



A água absorve mais os grandes comprimentos de onda do visível (vermelho) e IV que os pequenos comprimentos de onda.

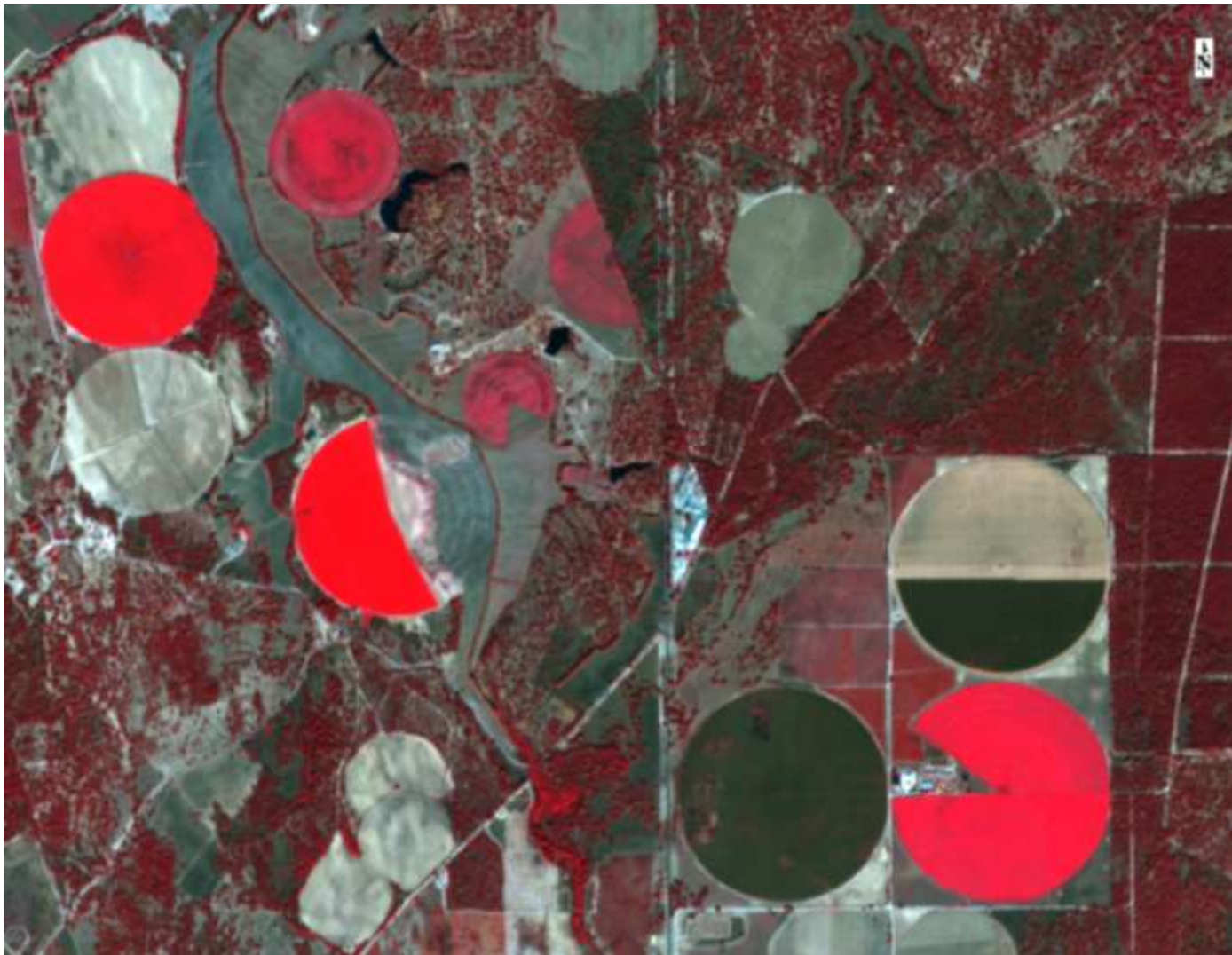
Por isso a água aparece azul aos nossos olhos e escura se vista nos maiores comprimentos de onda.

Se existirem sedimentos (S) em suspensão nas camadas superiores permitirá uma maior reflectividade e um aspecto mais brilhante da água.

A clorofila nas algas absorve mais o azul e reflecte o verde fazendo parecer a água verde na presença de algas.

Sentinel-2:composição 8-4-3

Reflectância da água no infravermelho



Sentinel-2:composição 8-4-3

Reflectância da água no infravermelho



B8, 842

N

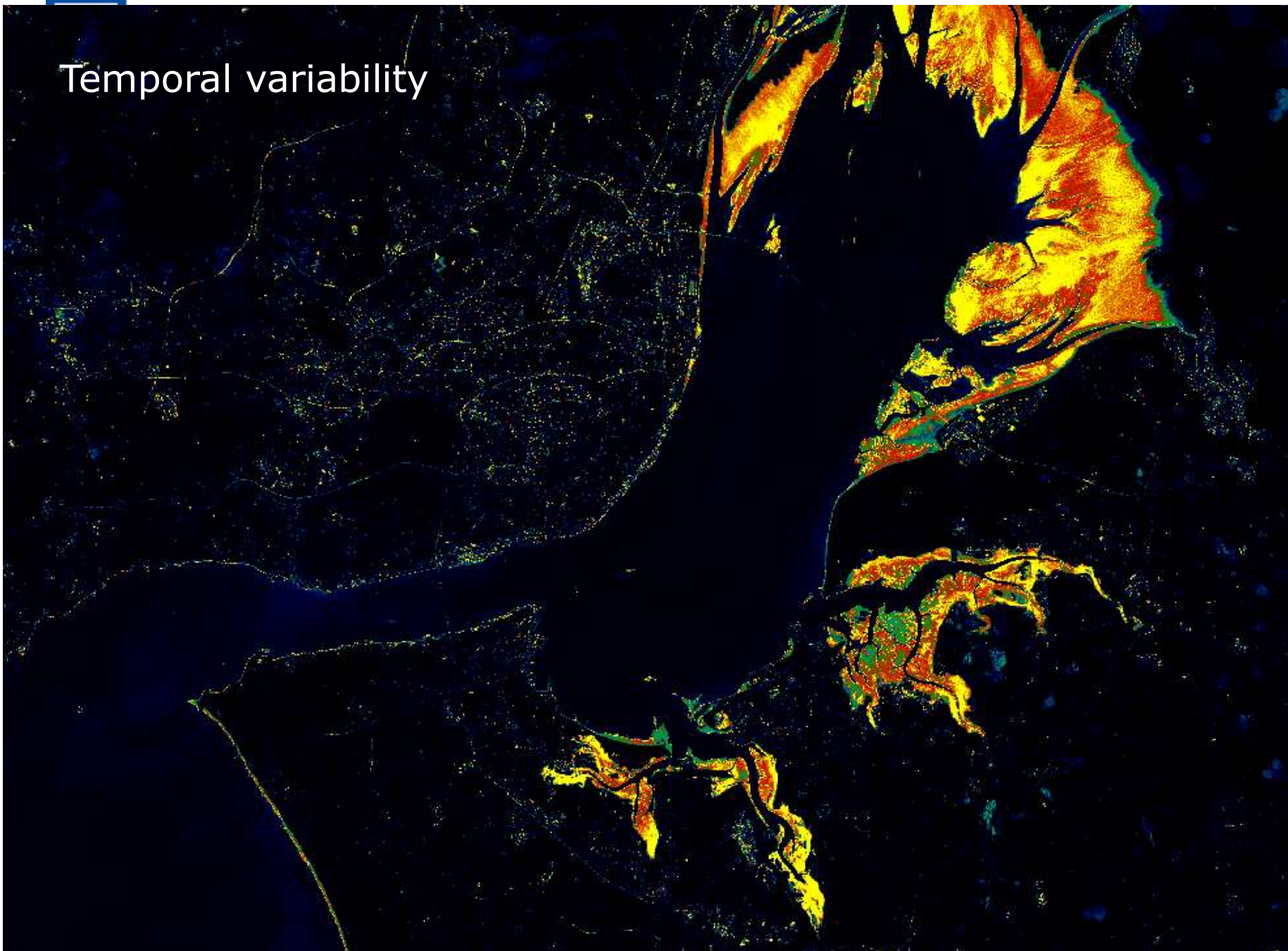


B11, 1610 nm

N



Temporal variability



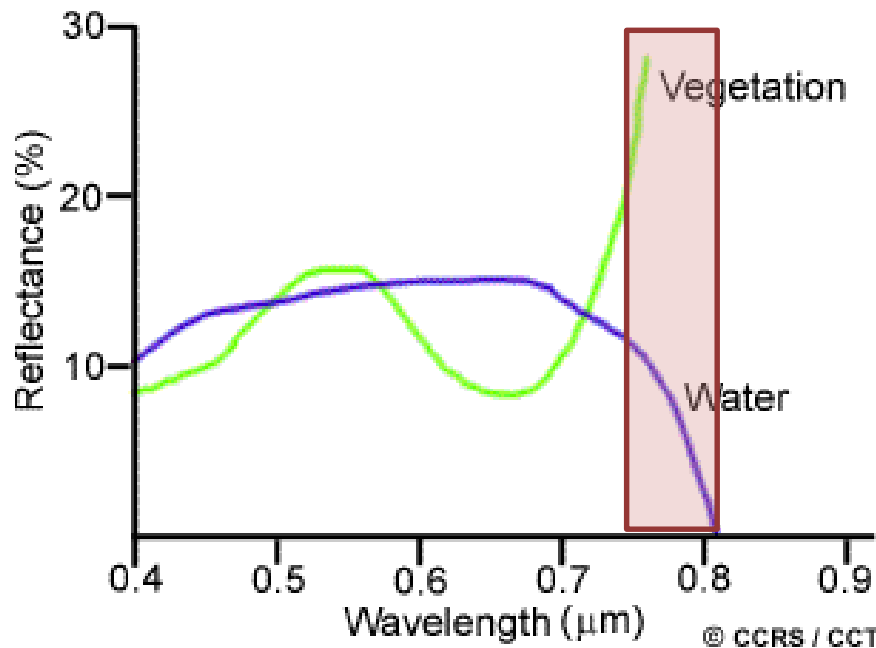


Ciênc
ULisb



Interacção Radiação - Alvo

1+



Medindo a energia que é reflectida (ou emitida) pelos alvos em vários comprimentos de onda pode construir-se **a resposta espectral** para cada objecto.

Comparando o padrão de resposta de diferentes entidades podemos distingui-las, mesmo que o conseguíssemos fazer analisando apenas um comprimento de onda.

Assinatura Espectral

A resolução espectral dos sensores a bordo dos satélites é demasiado pequena para identificar muitos dos objectos pela sua forma ou detalhe espacial.

Em alguns casos é possível identificar estes objectos por medições espetrais no terreno.



Existe um grande interesse na medição das **assinaturas espetrais** dos materiais como vegetação, solo, rocha no intervalo espectral.

A deteção remota multi-espectral baseia-se na possibilidade de distinguir os diferentes elementos da superfície com base na sua assinatura espectral

Assinatura Espectral

Contudo a assinatura espectral registada no satélite é alterada por diversos factores, como:

1. Variabilidade natural para um determinado tipo de material.
2. Resolução geométrica e radiância dos sistemas
3. Modificação das assinaturas pela atmosfera

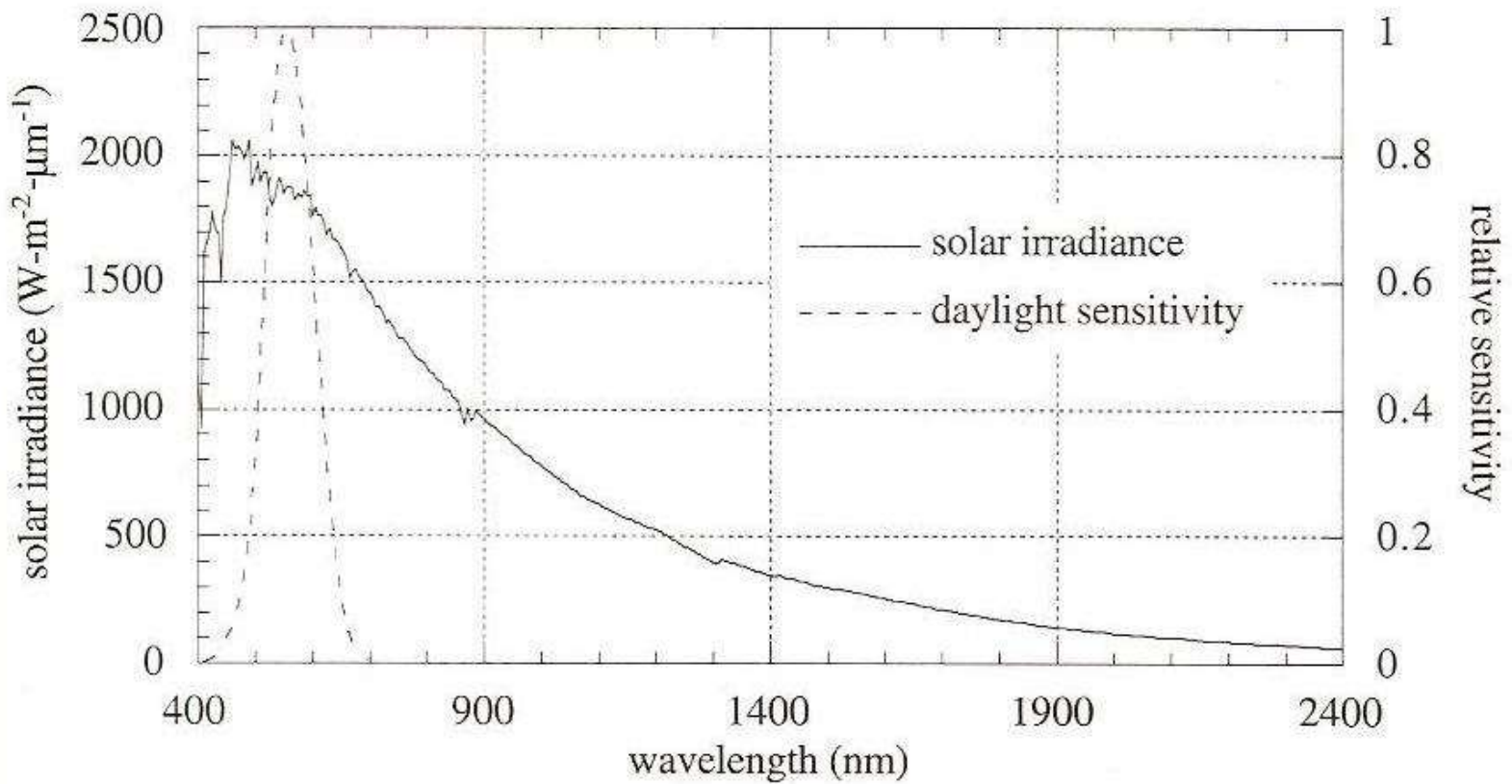
Não existe garantia que os materiais exibam assimetrias mensuráveis no ambiente natural.

Sentinel-2:composição 8-4-3

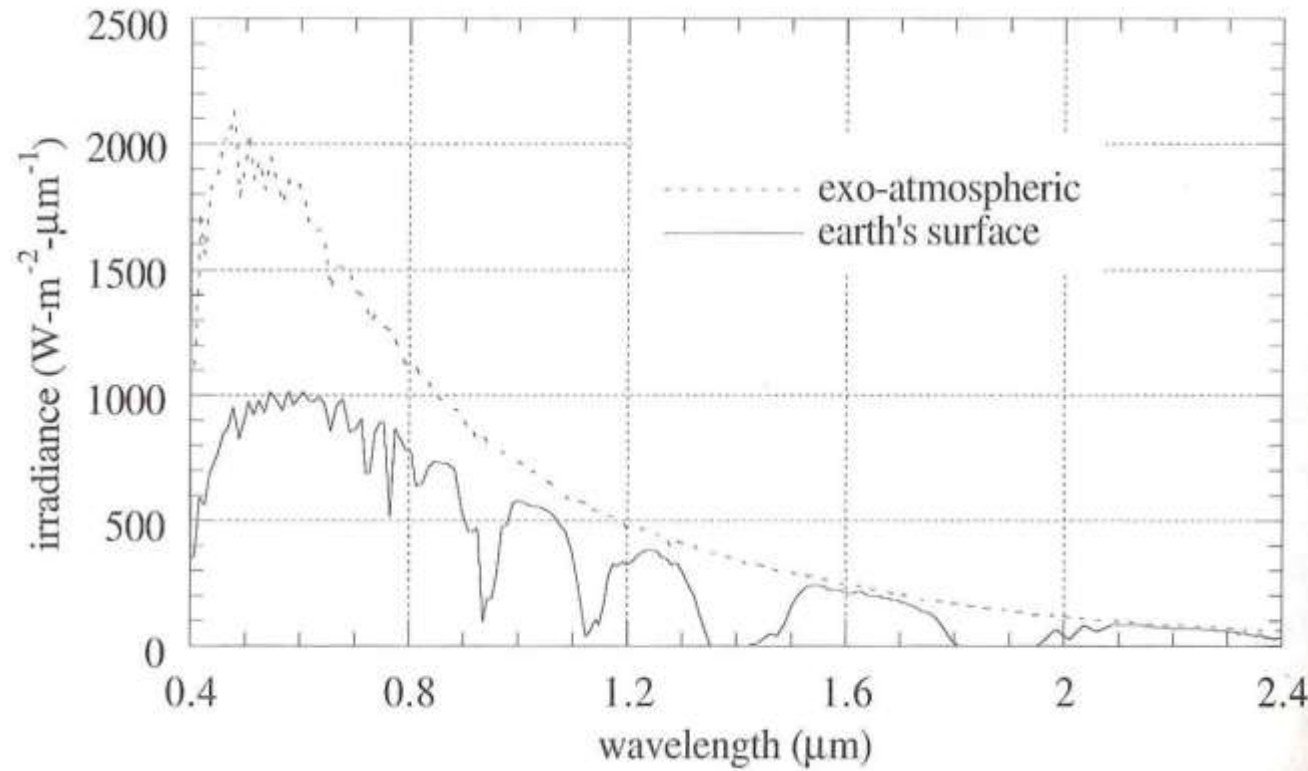
Reflectância da água no infravermelho



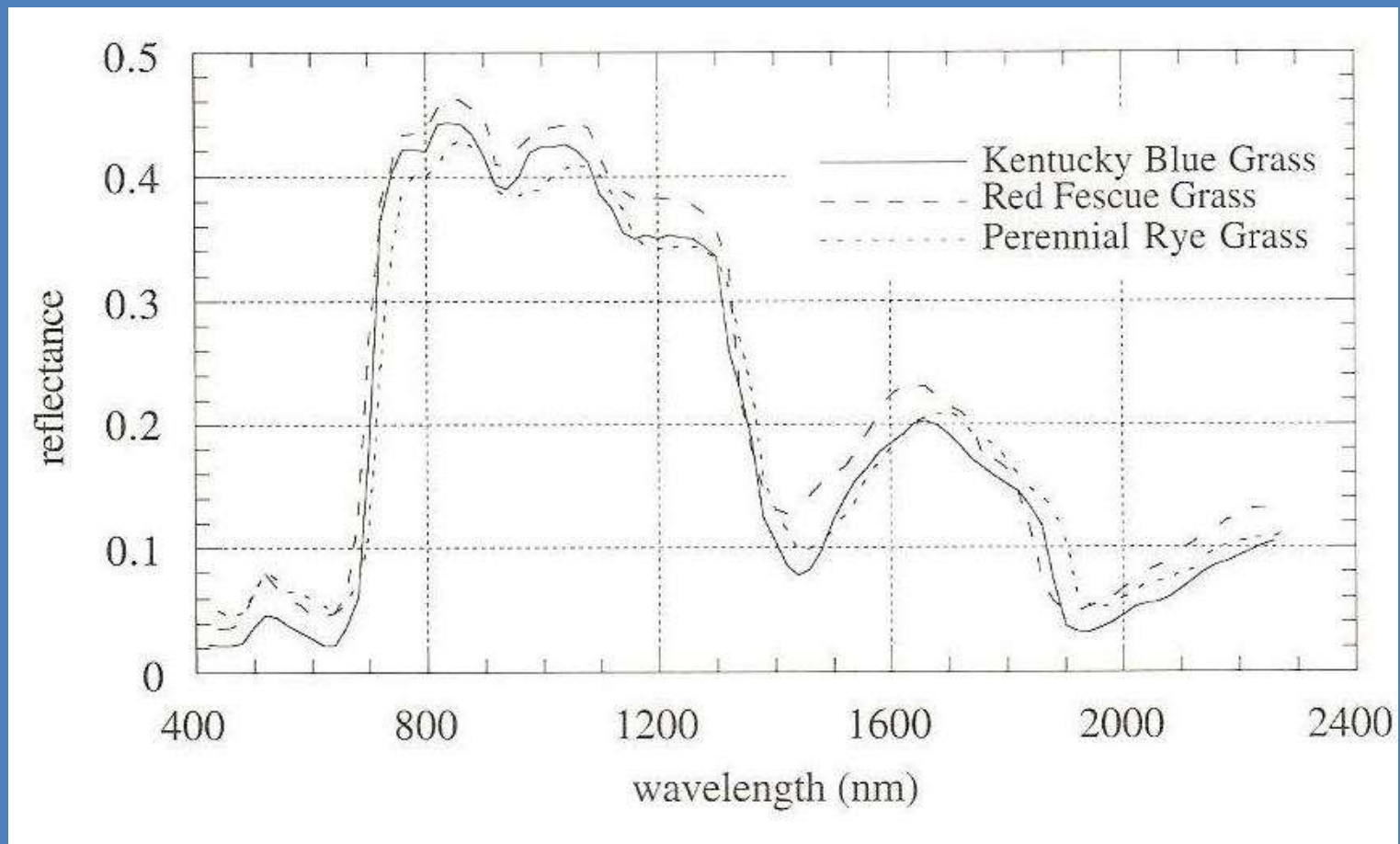
Irradiância espectral solar



Irradiância espectral solar e a resposta do olho humano

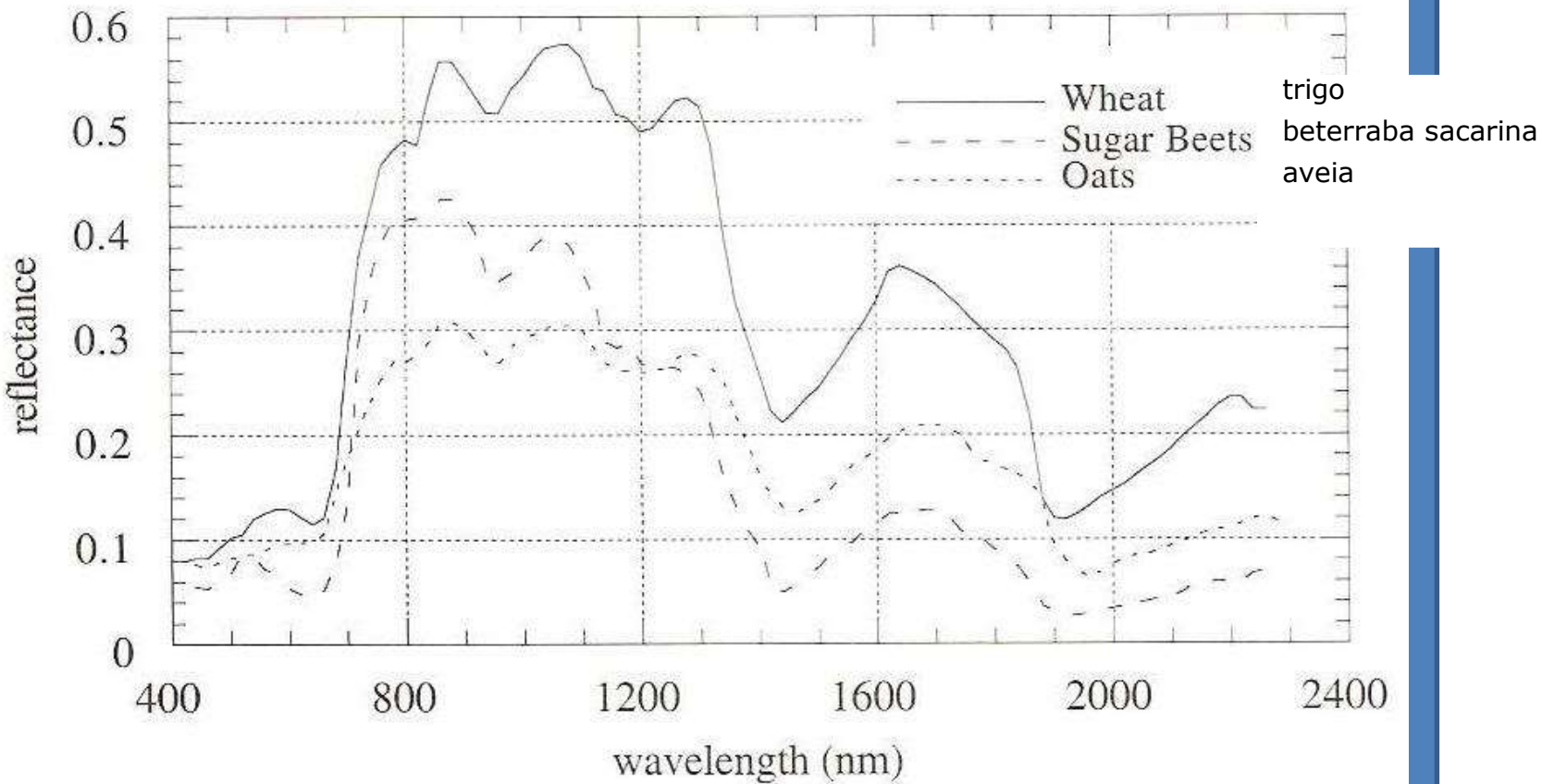


Assinatura Espectral



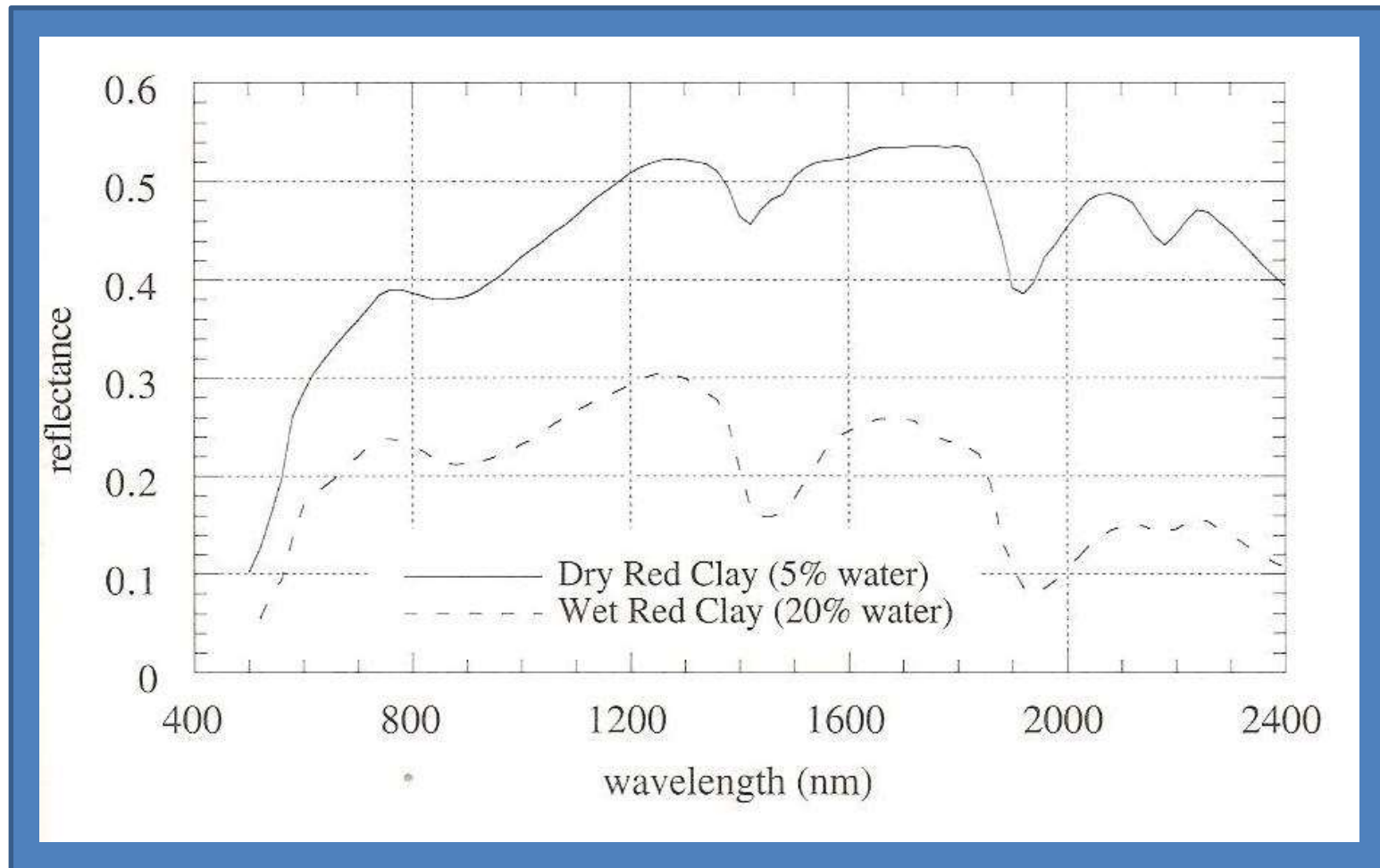
Exemplo de curvas de reflectância espectral

Assinatura Espectral



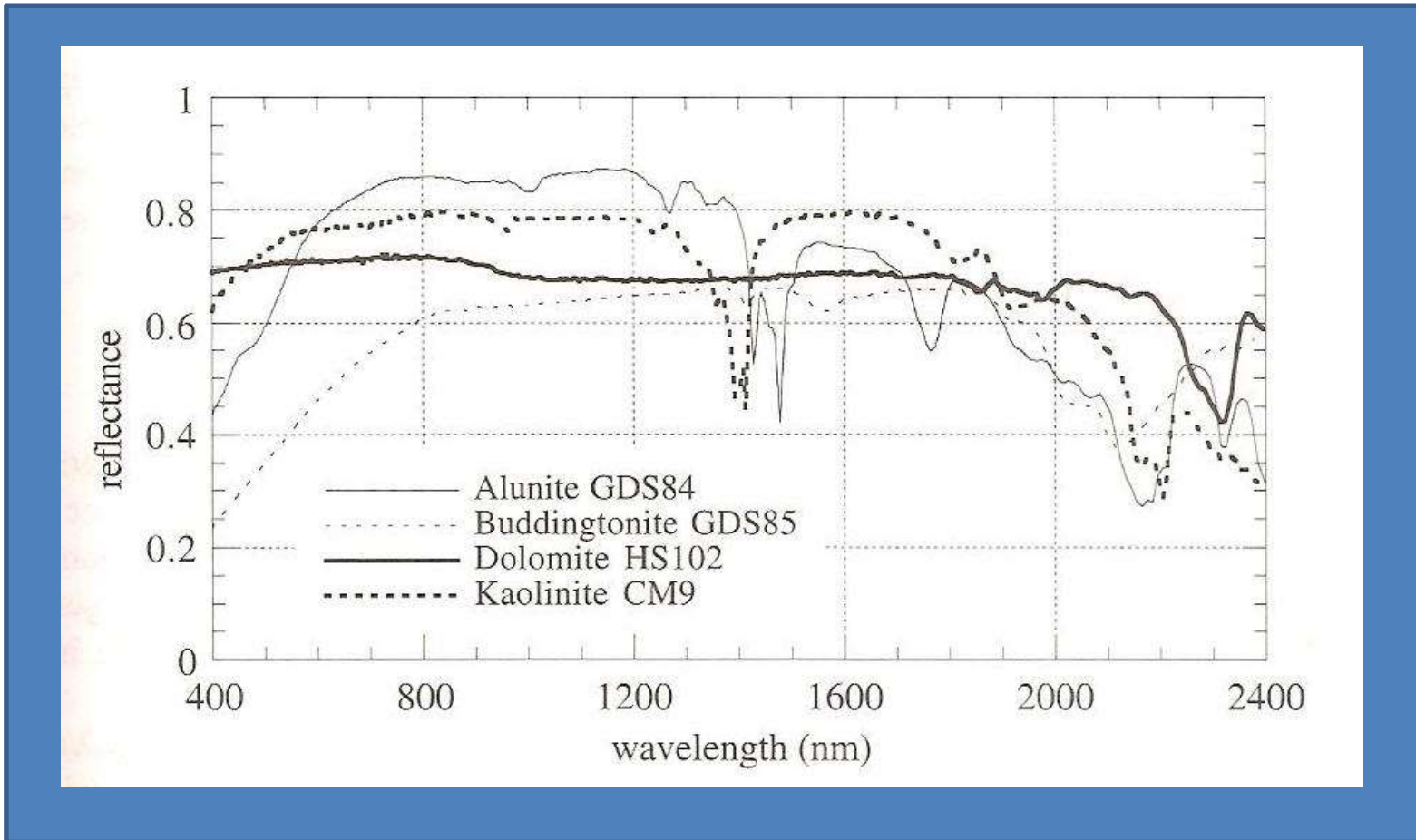
Exemplo de curvas de reflectância espectral

Assinatura Espectral



Exemplo de curvas de reflectância espectral (Clay = argila)

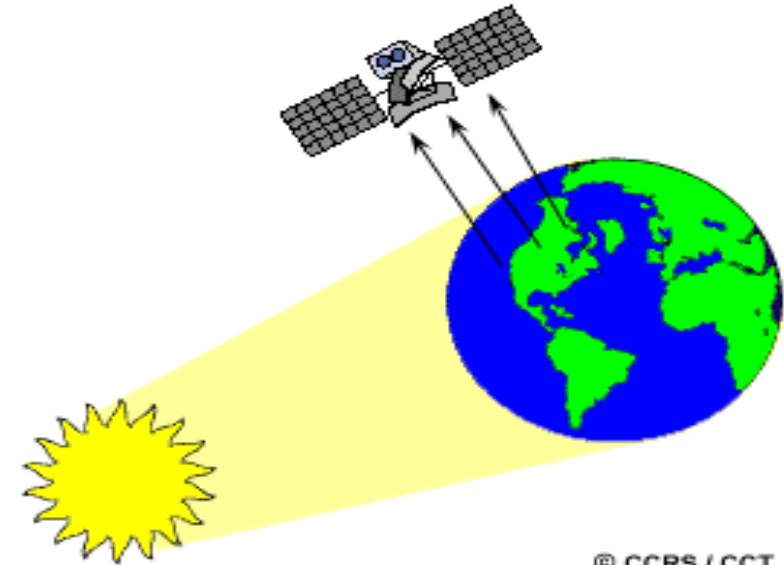
Assinatura Espectral



Exemplo de curvas de reflectância espectral

A energia do Sol é:

- reflectida**, no caso dos comprimentos de onda no visível, ou
- Reemitida**, no caso do infravermelho térmico.



© CCRS / CCT

Sensores Passivos

Os sistemas de Detecção Remota que registam a energia disponível.



Só
funciona
de dia
quando há
luz Solar

A energia do IV térmico pode ser detectada de noite ou de dia desde que em quantidade suficiente para ser registada

Detecção Passiva vs Activa

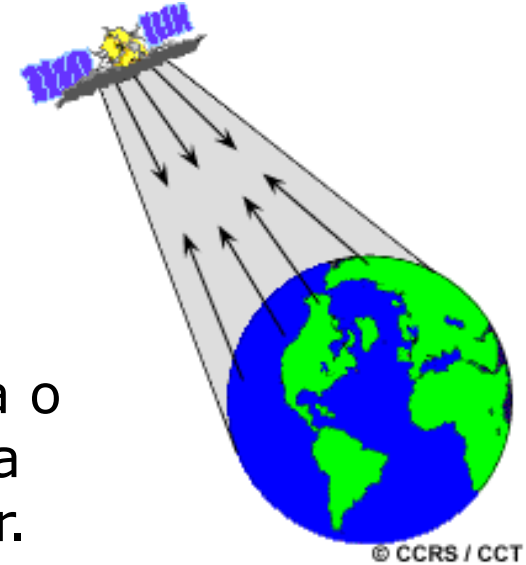
Sensores Activos

Os Sensores Activos têm a sua própria fonte de iluminação.

O sensor emite radiação directamente para o alvo a ser investigado. A radiação reflectida pelo alvo é detectada e medida pelo sensor.

As vantagens dos sensores activos é que podem funcionar a qualquer hora do dia

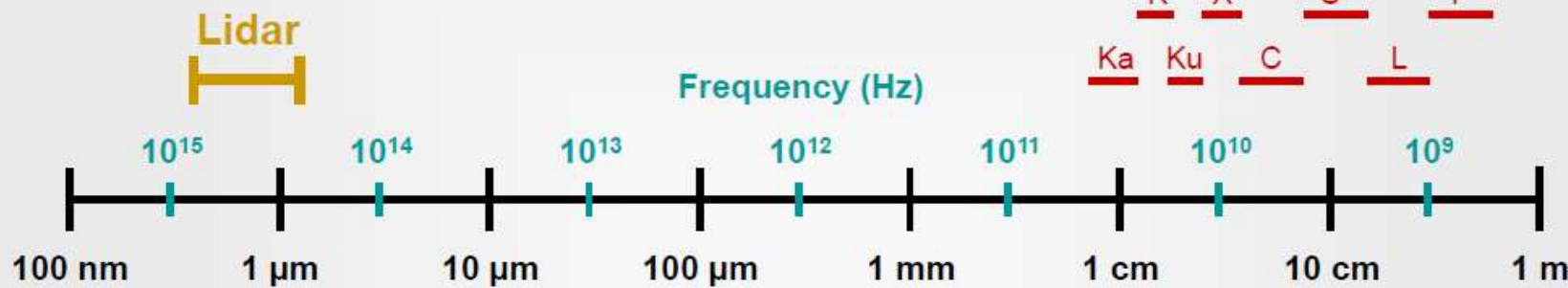
Estes sensores podem ser usados para examinar a interação com a superfície de comprimentos de onda que são fracamente fornecidos pelo Sol – tipo micro-ondas.



Tipos de sensores

Spaceborne sensors for Earth remote sensing with electromagnetic waves

active sensors



wave length

visible thermal Infrared

Infrared



passive sensors

Microwave radiometers

Microwaves: 300 MHz – 300 GHz:
(1 m – 1 mm)

Sensores Ópticos

Cada pixel representa uma média em cada uma das três dimensões:

Espaço

Comprimento de onda

Tempo

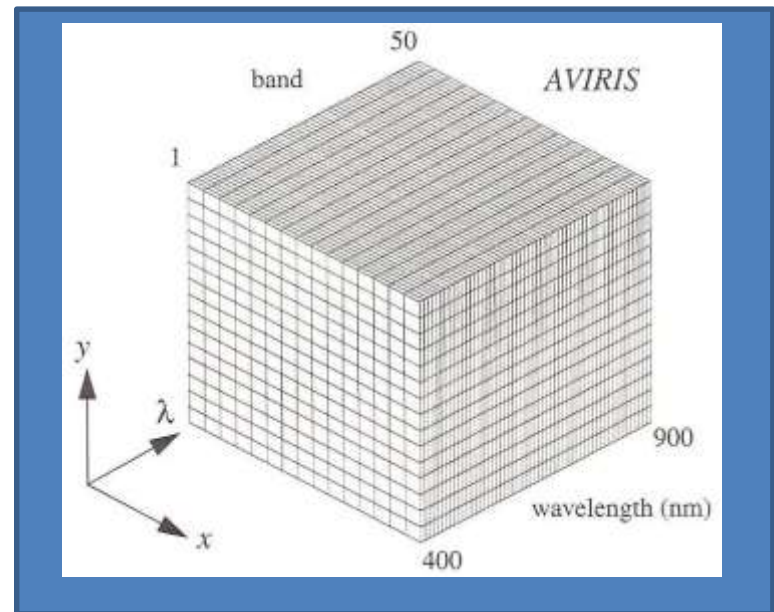
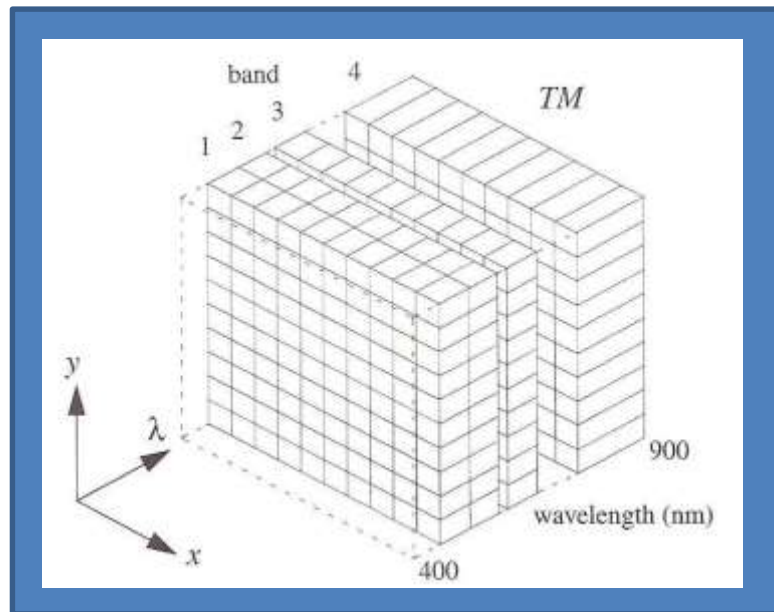
A média no tempo é geralmente muito pequena (na ordem dos micro segundos para sensores whiskbroom como TM e milissegundos para sensores pushbroom como o SPOT) e é inconsequente na maioria das aplicações.

A média no espaço e no comprimento de onda define as características dos dados nestas dimensões críticas.

Whiskbroom =
movimento rápido

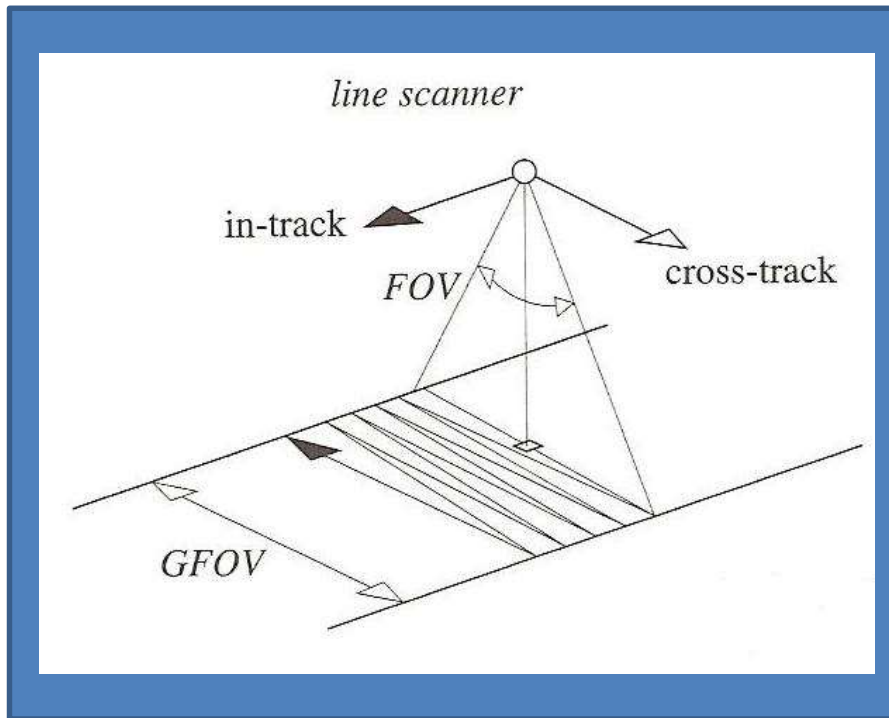
Sensores Ópticos

Se considerarmos um espaço continuo tri-dimensional paramétrico (x, y, λ), definido com as coordenadas (x, y) e o comprimento de onda (λ) podemos visualizar cada pixel de uma imagem como representando uma integração sobre um elemento de volume pequeno.



Sensores Ópticos

A grelha de pixéis que constitui a imagem digital é obtida por combinação do “scanning” na direcção perpendicular ao movimento do satélite (*cross-track*) e pelo movimento da plataforma no seu trajecto (*in-track*)



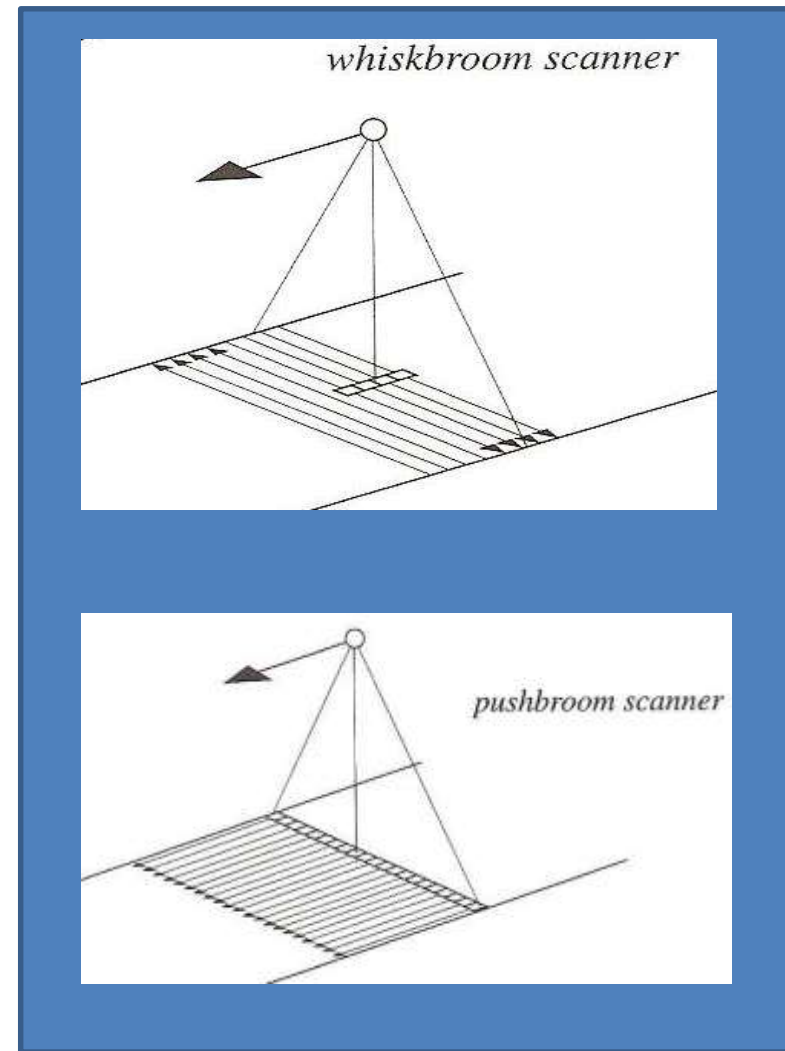
Um píxel é “criado” sempre que o sensor electronicamente regista uma amostra dos dados contínuos fornecidos pelo varrimento.

Um scanner linear usa um único elemento para varrer e registrar a totalidade da imagem.

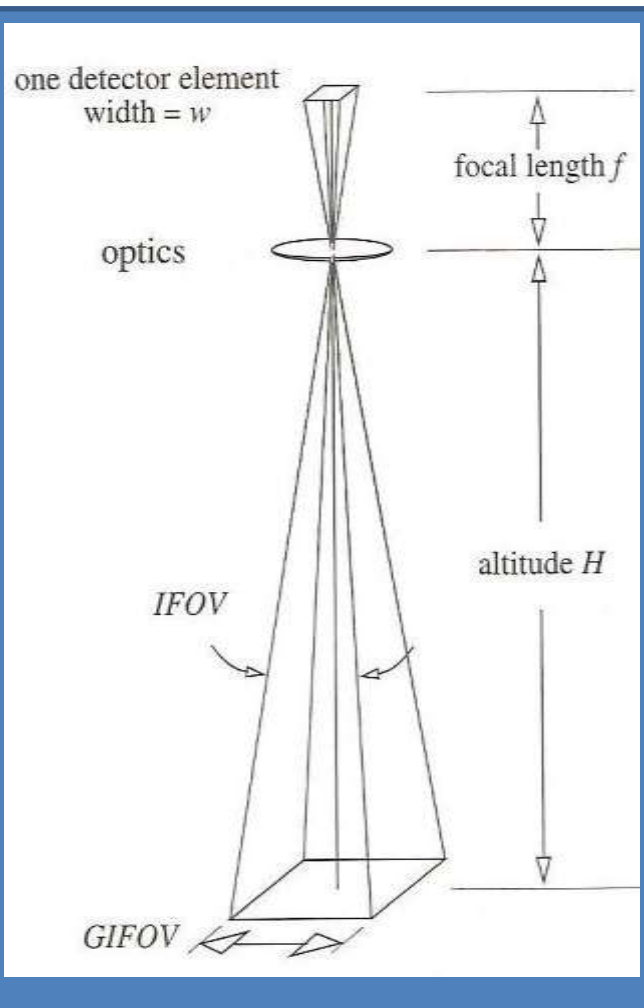
Sensores Ópticos

Os scanners whiskbroom, como o Landsat TM, usam vários elementos detectores alinhados com a direcção do movimento para efectuar o varrimento paralelo.

Os scanners Pushbroom, como o SPOT, têm um vector linear de detectores (sensores) com milhares de elementos, alinhados cross-track que varrem a totalidade da largura da imagem em paralelo.



Sensores Ópticos



Se a taxa de amostragem é igual a um pixel por espaçamento entre detectores a relação para o GSI no nadir é simplesmente:

$$GIFOV = \text{dimensão dos detectores} \times \frac{H}{f}$$

ou

$$GIFOV = \text{dimensão dos detectores} \times m$$

Em que $m = \frac{H}{f}$ é a amplificação geométrica do solo para o plano focal do sensor

Sensores Ópticos

A quantidade mais frequentemente usada é o IFOV (Instantaneous Field of View) definido como o ângulo subentendido por um único detector no eixo do sistema óptico.

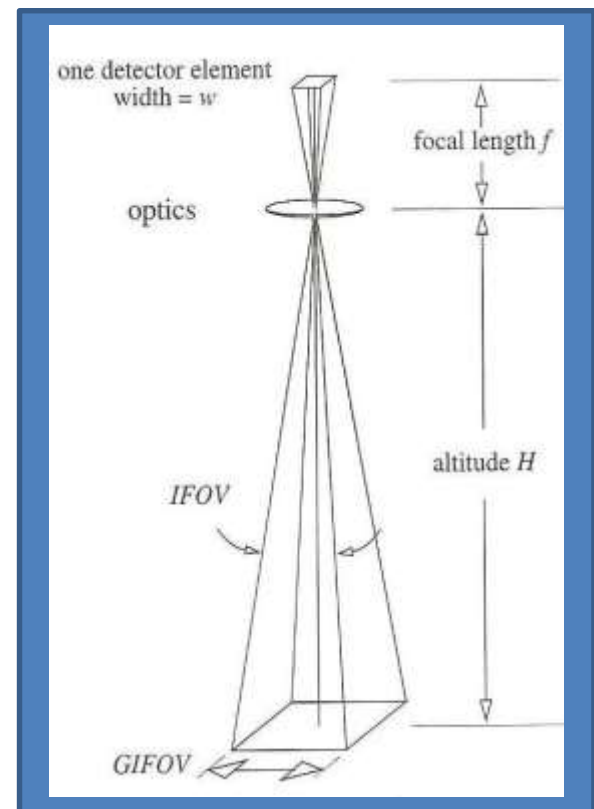
$$\text{IFOV} = \text{FOV} / (\text{número pixéis})$$

O IFOV é independente da altitude do satélite.

O valor de GIFOV é:

$$GIFOV = 2H \operatorname{tg}\left(\frac{\text{IFOV}}{2}\right)$$

ou GSD, Ground Sampling Distance



Resolução Espacial

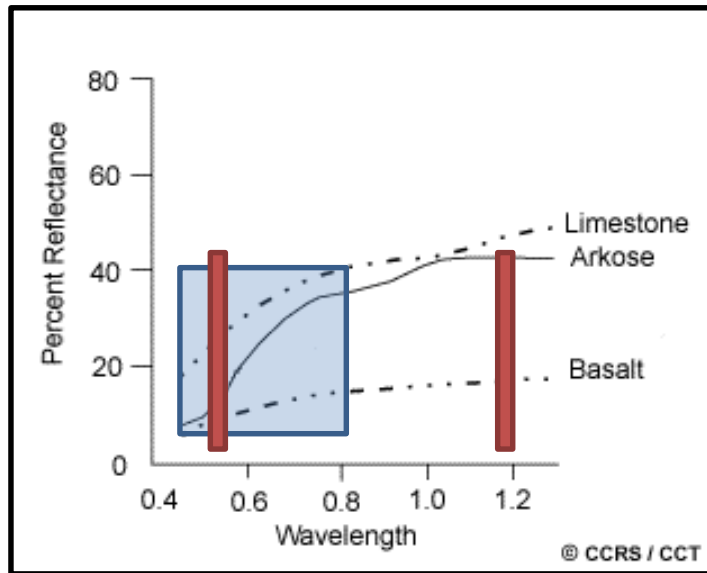
A **resolução espacial** é o valor do GIFOV, a menor que é representada na imagem.

Dizemos que a resolução **é baixa ou grosseira** quando não é possível observar elementos de pequena dimensão.

Dizemos que a resolução **é elevada** quando os pequenos objectos são detectáveis



Resolução Espectral



A **Resolução Espectral** é a capacidade do sensor definir intervalos de comprimentos de onda finos.

Quanto mais fina a resolução espectral mais estreito o intervalo de comprimento de onda para uma determinada banda ou canal

Por exemplo estes tipos de rochas não poderão ser distinguidos com os intervalos de comprimentos de onda usados por este sensor.

Resolução Espectral

Muitos sistemas de DR registam a energia em vários intervalos de comprimentos de onda separados com várias resoluções espectrais.



Estes sensores são referidos por:
Sensores multi-espectrais.



Outros sensores mais avançados que detectam centenas de bandas muito estreitas desde o visível, ao IV próximo e médio do e.m. são chamados **Hiper-espectrais**.

Uma elevada resolução espectral facilita a discriminação entre diferentes alvos baseados na sua resposta espectral em cada uma das suas bandas estreitas

Resolução Radiométrica

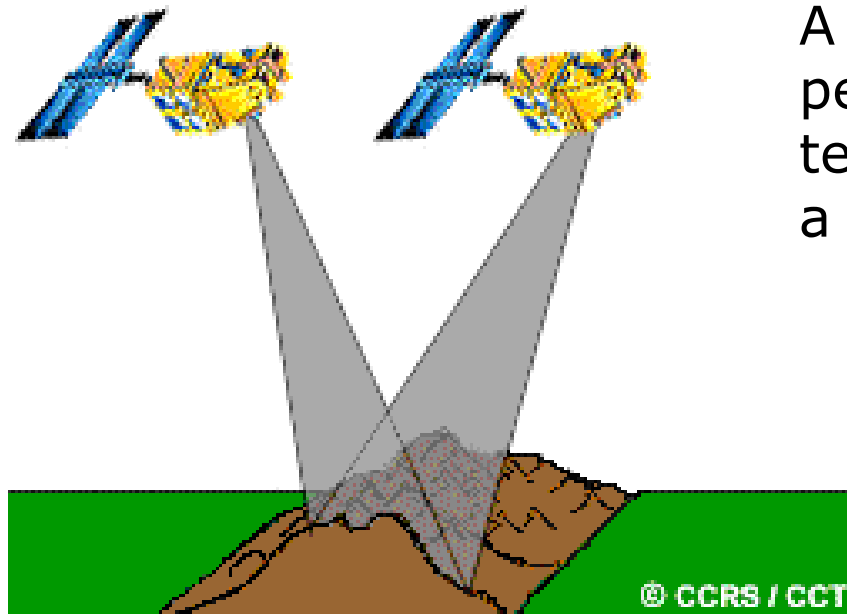


A resolução radiométrica de uma imagem descreve a capacidade de discriminar pequenas diferenças na energia.

Quanto maior a resolução radiométrica de um sensor mais sensível será na detecção de pequenas diferenças na energia reflectida ou emitida.

Quanto maior for o número de bits para representar os valores de intensidade de uma imagem maior será a sua resolução radiométrica.
(este assunto será retomado seguidamente)

Resolução Temporal



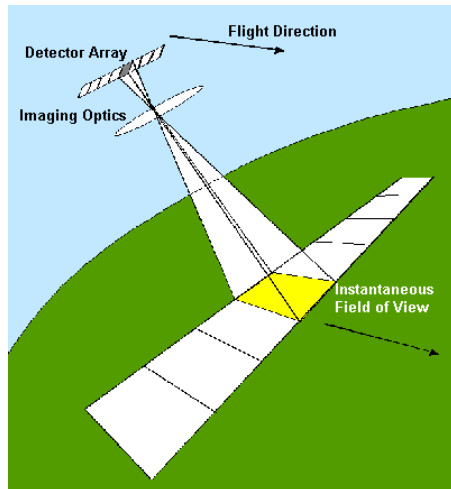
A resolução temporal é o período de revisita, ou seja o tempo que demora um satélite a completar um ciclo orbital.

O período de revisita é geralmente de vários dias. No caso do Sentinel1 é 12 dias, Landsat 15 dias, SPOT 26 dias.

Alguns satélites têm a capacidade de redireccionar os sensores e permitir registar dados de uma área em passagens (traços) diferentes separados por períodos de um até 5 dias.

Número Digital

4+



Em cada pixel, é medido pelo sensor a **radiância** de uma área relativamente pequena do total da imagem.

A radiância “vista” pelo detector em cada pixel é convertida num sinal eléctrico e posteriormente quantificado num valor discreto inteiro:

 O Número Digital (DN)

Nos dados digitais é usado um número finito de bits, **Q**, para codificar como números binários os dados contínuos de medição. O número discreto de DNs é dado por:

$$N_{DN} = 2^Q \quad (Q=8\text{ bits}, N= 256\text{ níveis})$$

Quanto maior o valor de Q, mais aproximado é o valor registado dos dados contínuos originais e maior a **resolução radiométrica** do sensor.

Os sensores SPOT e TM têm 8 bits por pixel, enquanto que o AVHRR tem 10 bits por pixel e o IKONOS tem 11 bits por pixel, MODIS 12 bits por pixel, Landsat-8 tem 12 bits.

Em resumo:

Um pixel é caracterizado, numa primeira ordem, por três quantidades:

GIFOV
(resolução efectiva no terreno)

resolução espectral
(numero de bandas)

Resolução
radiométrica
(numero de bits)

Sistemas de Imagem

As imagens de Detecção Remota são guardadas no disco num dos três formatos:

BSQ (Band SeQuential)

BIP (Band Interleaved by Pixel)

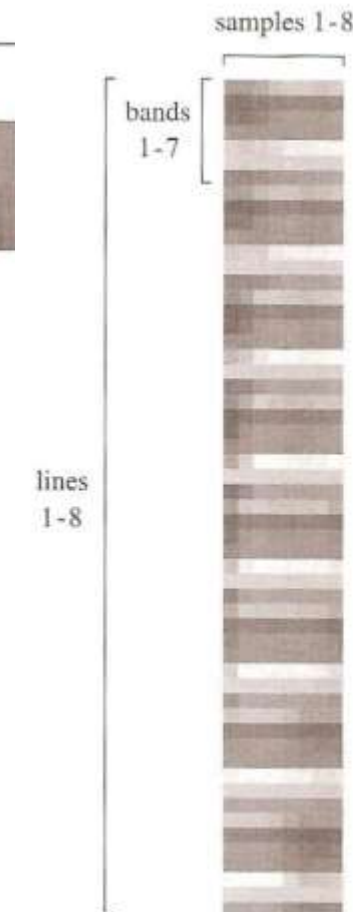
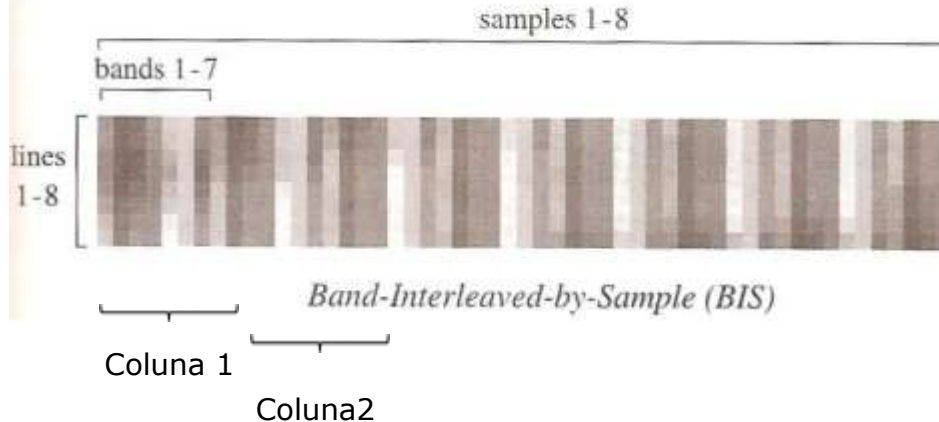
(BIS – Band Interleaved by Sample)

BIL (Band Interleaved by Lines)

Estes formatos são determinados por diferentes ordenações das três dimensões dos dados. Do ponto de vista do tempo de acesso:

- o formato BSQ é preferível se estamos interessados em trabalhar individualmente com as bandas
- o formato BIS é preferível se estamos a trabalhar com todas as bandas numa pequena área.

Sistemas de Imagem

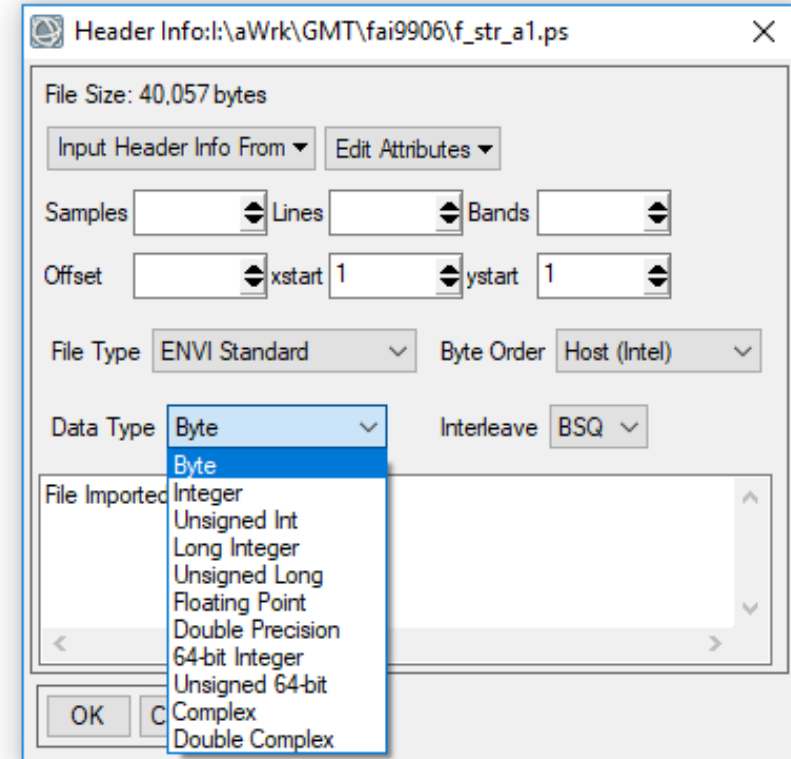
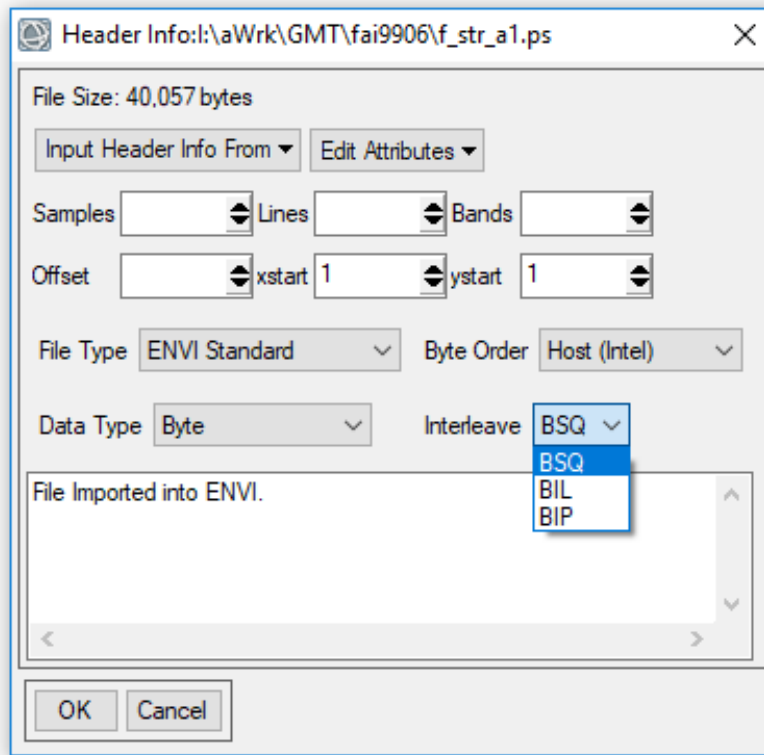


Band-Interleaved-by-Line (BIL)

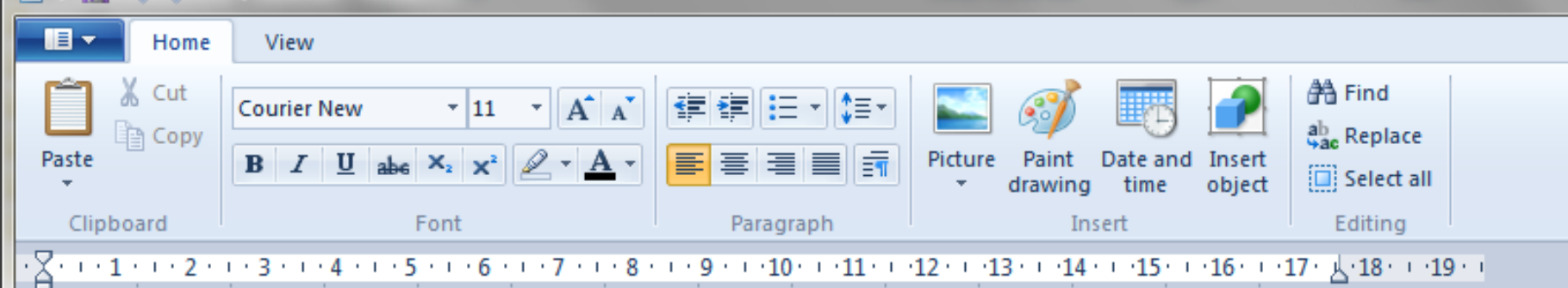


Band-SeQuential (BSQ)

Leitura de um ficheiro imagem binário



```
version = "22.2";
generationTime = 2011-03-14T07:47:36.000000Z;
productOrderId = "11EUSI-0311-02-Mono_I003002_FL02-P007059";
productCatalogId = "None";
imageDescriptor = "ORStandard2A";
bandId = "BGRN";
panSharpenAlgorithm = "UNB";
numRows = 11704;
numColumns = 9767;
productLevel = "LV2A";
productType = "Standard";
numberOfLooks = 1;
radiometricLevel = "Corrected";
radiometricEnhancement = "Off";
bitsPerPixel = 16;
compressionType = "None";
BEGIN_GROUP = BAND_B
    ULLon = -9.35901353;
    ULLat = 38.87621354;
    ULHAE = 198.51;
    URLon = -9.30272131;
    URLat = 38.87637303;
    URHAE = 198.51;
    LRLon = -9.30249791;
    LRLat = 38.82364245;
```



```
ENVI
description = {
    NDVI Transform Result [Fri Feb 17 14:55:22 2017] }
samples = 3512
lines = 2105
bands = 1
header offset = 0
file type = ENVI Standard
data type = 4
interleave = bsq
sensor type = Unknown
byte order = 0
map info = {UTM, 1.000, 1.000, 498225.000, 4151565.000, 3.0000000000e+001, 3.0000000000e+
units=Meters}
coordinate system string = {PROJCS["WGS_1984_UTM_Zone_29N",GEOGCS["GCS_WGS_1984",DATUM["D
1984",6378137.0,298.257223563]],PRIMEM["Greenwich",0.0],UNIT["Degree",0.0174532925199433]
["Transverse_Mercator"],PARAMETER["False_Easting",500000.0],PARAMETER["False_Northing",0.
9.0],PARAMETER["Scale_Factor",0.9996],PARAMETER["Latitude_Of_Origin",0.0],UNIT["Meter",1.
wavelength units = Unknown
band names = {
    NDVI (subset) }
```

map info

Lists geographic information in the following order:

- Projection name
- Reference (tie point) pixel **x** location (in file coordinates)
- Reference (tie point) pixel **y** location (in file coordinates)
- Pixel easting
- Pixel northing
- x pixel size
- y pixel size
- Projection zone (UTM only)
- North or South (UTM only)
- Datum
- Units

s follows:

See [Enter Map Information for Georeferenced Files](#) for further details.

offset values

data reflectance_offset values = REFLECTANCE_ADD_BAND_1/sin(sun_elevation)

data type

The type of data representation:

- 1 = Byte: 8-bit unsigned integer
- 2 = Integer: 16-bit signed integer
- 3 = Long: 32-bit signed integer
- 4 = Floating-point: 32-bit single-precision
- 5 = Double-precision: 64-bit double-precision floating-point
- 6 = Complex: Real-imaginary pair of single-precision floating-point
- 9 = Double-precision complex: Real-imaginary pair of double precision floating-point
- 12 = Unsigned integer: 16-bit
- 13 = Unsigned long integer: 32-bit
- 14 = 64-bit long integer (signed)
- 15 = 64-bit unsigned long integer (unsigned)

default bands

Indicates which band numbers to automatically load into the Data Manager **Greyscale** or **R**, **G**, and **B** fields every time the file is opened. By default, a new image is automatically loaded when a file that has default bands defined in its header is opened. If only one band number is used, then ENVI loads a greyscale image.

default stretch

Determines what type of stretch (% linear, linear range, Gaussian, equalization, square root) to use when ENVI displays the image.

dem band

Index (starting at 1) of a selected **DEM band associated with the image**. The **dem band** is not written if the DEM file contains a single band, or if the first band is chosen. In these cases, the **dem band** value defaults to 0.

dem file

Path and filename of a **DEM associated with the image**.

description

DESOE, 2000 Catalog References Performance & Examples

```
49 -     nImages=fscanf(fid1,'%d',1);
50 -     numbPixels=size(find(mask > 0),1);
51 -     mean=zeros(nImages, dim);
52 -     std=zeros(nImages, dim);
53
54 -     for i=1:nImages
55 -         img_name=fscanf(fid1,'%s\n',1);
56 -         disp(strcat('Image: ',img_name));
57 -         cd(strcat(path_results,img_name));
58
59         %NDVI
60 -         fid3=fopen('B8.img','r','b');
61 -         aa=uint16(fread(fid3,[nColunms*nLines,1], 'uint16','b'));
62 -         fclose(fid3);
63 -         aa=single(aa);
64 -         b8=reshape(aa, [nColunms,nLines]);
65 -         clear aa
66 -         fid3=fopen('B4.img','r','b');
67 -         aa=uint16(fread(fid3,[nColunms*nLines,1], 'uint16','b'));
68 -         fclose(fid3);
69 -         aa=single(aa);
70 -         b5=reshape(aa, [nColunms,nLines]);
71 -         clear aa
72
73 -         aa= b8+b5;
74 -         ndvi=(b8-b5) ./aa;
75 -         clear aa b5 b8
76         % figure(2);
77         % imagesc(ndvi);
78         % colormap(gray);
79 -         for j=1:dim
80 -             aa =find(mask==j); %pixeis da parcela j
81 -             soma=sum(ndvi(aa));
82 -             bb=ndvi(aa).*ndvi(aa);
83 -             soma2=sum(bb);
```



Sentinel Hub, <https://scihub.copernicus.eu/dhus/#/home>

Sentinels Scientific Data Hub

Insert search criteria...

Advanced Search

Sensing period From: _____ To: _____

Ingestion period From: _____ To: _____

Mission: Sentinel-1

Product Type (SLC, GRD, OCN) Polarisation (e.g. HH, VV, HV, VH, ...)

Sensor Mode (SM, IW, EW, WV) Relative Orbit Number (from 1 to 175)

Mission: Sentinel-2

Cloud Cover % (e.g. [0 TO 9.4])

Map showing Sentinel-1 coverage over Portugal. The map displays a dense network of roads and geographical features. A large orange rectangular area highlights the northern region, centered around Oporto and Lisbon. Numerous smaller green and yellow shaded areas are scattered across the southern part of the country, indicating individual satellite passes or scenes. Labels on the map include: Cabeceiras de Basto, Encorgelamento, Alzadas, Sármão, Aljustrel, Portalegre, Vila Franca de Xira, Tomar Vieiras, Santarém, Catiães, Muge, Salvaterra do Miño, Vila Franca de Xira, Alenquer, Odemira, Estremoz, Evora, Vendas Novas, Montemor-o-Novo, Alentejo do Sul, Grândola, Melides, Reguengos de Monsaraz, Moura, and Fornos de Algodres.

1-s2.0-50034425711.pdf 06723777.pdf 05758925.pdf WorldView-3-PDF-D...pdf NASA_Earth_Obs...webm Show all downloads...

Distorção Geométrica das imagens

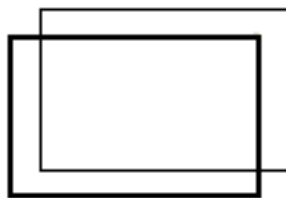
Qualquer sistema de DR terá distorções geométricas. Este é um problema inerente à DR uma vez que pretendemos representar a superfície da Terra 3D numa imagem bidimensional. (matematicamente equivalente ao problema da cartografia matemática, acrescida de outras deformações)

Os elementos que contribuem para a distorção geométrica das imagens são:

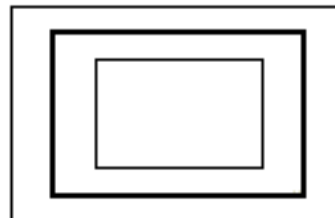
- a) O movimento do sistema de varrimento
- b) A instabilidade da plataforma.
- c) A atitude da plataforma
- d) O relevo do terreno
- e) Curvatura e rotação da Terra.

Distorção Geométrica das imagens

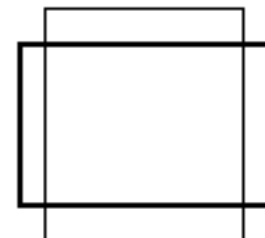
External Distortions



(a) Shift error



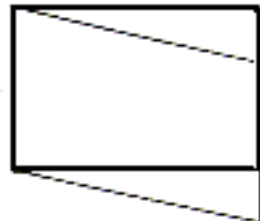
(b) Scale error



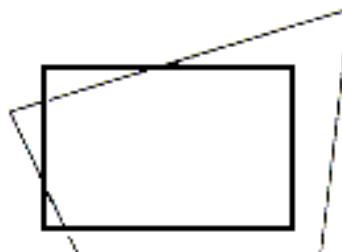
(c) V/H error



(d) Skew



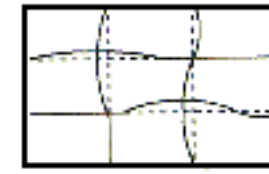
(e) Skew of scan line



(f) Projection distortion



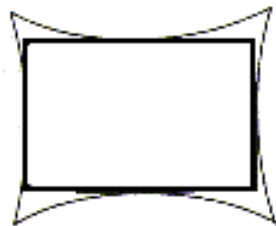
(g) Distortion due to
Earth curvature



(h) Terrain relief
Displacement

Distorção Geométrica das imagens

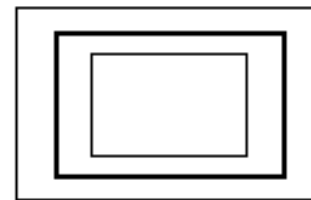
Internal Distortions



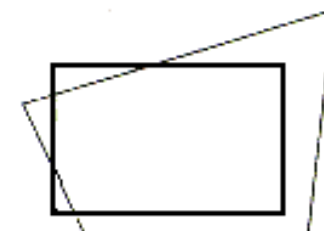
(a) Radial distortion



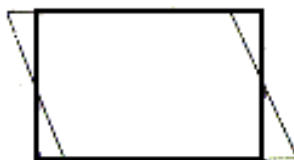
(b) Tegential distortion



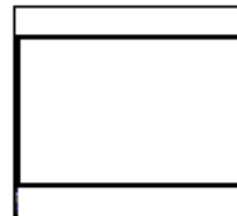
(c) Scale error



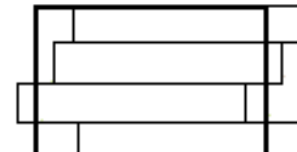
(d) Projection distortion



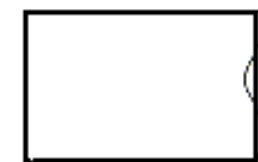
(e) Skew



(f) Along track scale error



(g) Step-wise distortion



(h) Scan-line scale error



Sentinel-1A's radar shows the metropolitan area of Portugal's capital, Lisbon, on 8 October 2014.





FIM do 1º Capítulo

Curiosidades e questões

Questões

Pode a Detecção Remota usar algo mais que a radiação electromagnética?



Resposta:

Embora o uso do termo detecção remota pressuponha o uso de radiação electromagnética, a definição mais geral de “aquisição de informação à distância”, não exclui outras formas de energia. O uso do som é uma alternativa óbvia.

Um exemplo são os sonares acústicos usados no mar.

Questões

Assumindo que a velocidade da luz é 3×10^8 m/s. Se a frequência de uma onda electromagnética é de 500.000 GHz (giga hertz $\text{GHz} = 10^9$ Hz), qual é o comprimento de onda da radiação? Expressse sua resposta em micrómetros (μm).

Resposta:

$$c = \lambda f$$

$$3 \times 10^8 \text{ (m/s)} = \lambda \text{ (m)} (500000 \times 10^9 \text{ Hz})$$

$$\lambda = 3 \times 10^8 / 5 \times 10^{14} = 6 \times 10^{-7} \text{ m}$$

$$1 \text{ Hz} = 1 \text{ s}^{-1} (f=1/T)$$

Reposta : 0.6 μm

Questões

Quais seriam as condições atmosféricas ideais para a DR na área do visível?

Resposta:

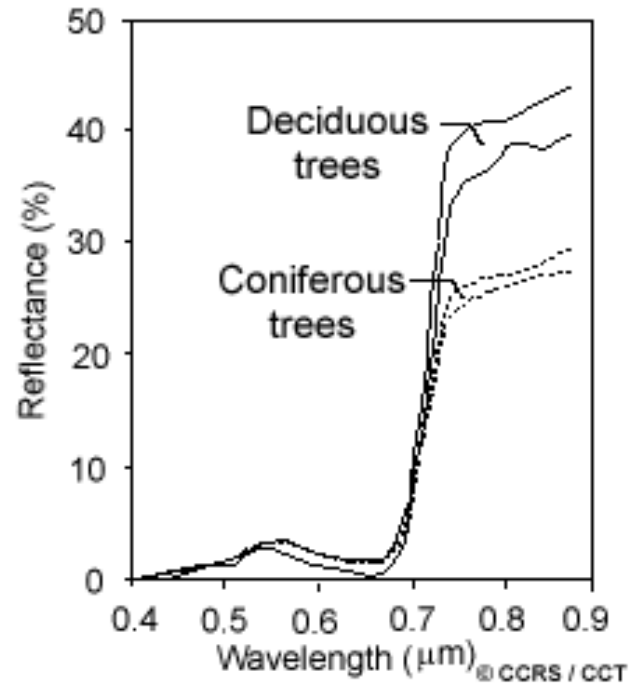
Por volta do meio-dia num dia de sol, seco, sem nuvens e nenhuma poluição seria o ideal para a DR.

Ao meio-dia o sol está no seu ponto mais alto, o que reduz a distância que a radiação tem de percorrer e, portanto, os efeitos de difusão são mínimos.

Questões

Se pretendêssemos mapear as árvores de folha caduca e as coníferas (por exemplo, pinheiros, ou abetos) numa floresta usando dados de DR, qual seria a melhor maneira de fazer este mapeamento?

Use as curvas de reflectância que ilustram o padrão de resposta espectral destas espécies para explicar a resposta.



Questões

Resposta:

Como ambos os tipos de árvores aparecem verdes ao olho nu não poderemos usar a banda do visível.

Olhando para as curvas da reflectância para os dois tipos de árvores, é claro que seria difícil distinguir com qualquer um dos comprimentos de onda visíveis.

No entanto, no infravermelho próximo, embora ambos os tipos reflectam uma parte significativa da radiação, são claramente separáveis.

Assim, um sistema de DR que detecte o infravermelho próximo ($0,8 \mu\text{m}$ de comprimento de onda) seria ideal para esta finalidade.

Questões

Qual é a vantagem de se trabalhar com várias bandas espectrais como combinação colorida em vez de se examinar cada uma das imagens individualmente?

Resposta:

Combinando diferentes canais de diferentes comprimentos de onda numa imagem , podemos conseguir identificar combinações de reflectância entre os diferentes canais que evidenciem entidades/characteristicas que de outra forma não poderiam ser detectadas, se examinássemos um canal de cada vez.

Adicionalmente, estas combinações podem manifestar , elas mesmo, um subtil variação na cor (aos quais os nossos olhos sejam mais sensíveis) mais que as variações nos tons de cinzento que seriam vistos quando examinamos cada banda individualmente.

Questões

Uma imagem digitalizada, 2 bandas 7×7 , sistema BIL

5	3	4	5	4	5	5	5	5	4	6	7	7	7	2	2	3	4	4	4	6	2	4
---	---	---	---	---	---	---	---	---	---	---	---	---	---	---	---	---	---	---	---	---	---	---

6	5	5	6	5	2	2	3	3	6	6	8	5	3	5	7	6	6	8	2	2	6	6
---	---	---	---	---	---	---	---	---	---	---	---	---	---	---	---	---	---	---	---	---	---	---

9	8	7	3	4	5	6	8	8	7	3	6	8	8	8	7	4	3	5	8	8	8	7
---	---	---	---	---	---	---	---	---	---	---	---	---	---	---	---	---	---	---	---	---	---	---

1	3	6	8	7	2	3	2	4	5	8	7	1	0	0	4	6	7	3	3	2	1	3
---	---	---	---	---	---	---	---	---	---	---	---	---	---	---	---	---	---	---	---	---	---	---

6	7	0	0	0	0
---	---	---	---	---	---

Questões

A imagem na sua forma convencional

		PIXELS						
		1	2	3	4	5	6	7
L	1							
I	2							
N	3							
E	4							
S	5							
	6							
	7							

BANDA 'A'

		PIXELS						
		1	2	3	4	5	6	7
L	1							
I	2							
N	3							
E	4							
S	5							
	6							
	7							

BANDA 'B'

Questões

A imagem na sua forma convencional

PIXELS

	1	2	3	4	5	6	7
L	5	3	4	5	4	5	5
I	2	2	3	4	4	4	6
N	2	2	3	3	6	6	8
E	2	2	6	6	9	8	7
S	3	6	8	8	8	7	4
6	3	6	8	7	2	3	2
7	4	6	7	3	3	2	1

BANDA 'A'

PIXELS

	1	2	3	4	5	6	7
L	5	5	4	6	7	7	7
I	2	4	6	5	5	6	5
N	5	3	5	7	6	6	8
E	3	4	5	6	8	8	7
S	3	5	8	8	8	7	1
6	4	5	8	7	1	0	0
7	3	6	7	0	0	0	0

BANDA 'B'



Questões

1. Sabendo que o GFOV do Landsat é 185 km diga qual o valor do FOV.

2. Sabendo que o Landsat tem um GIFOV de 30 m qual o valor de IFOV e quantos pixéis tem a imagem?

3. Num ficheiro imagem em formato byte com 1000×2000 pixéis e com 17.5×10^5 bytes, quantas bandas tem a imagem

4. Uma imagem com 4 bandas, 1000×3000 pixéis em formato float, quantos bytes tem?